

# Problemas Matemáticos

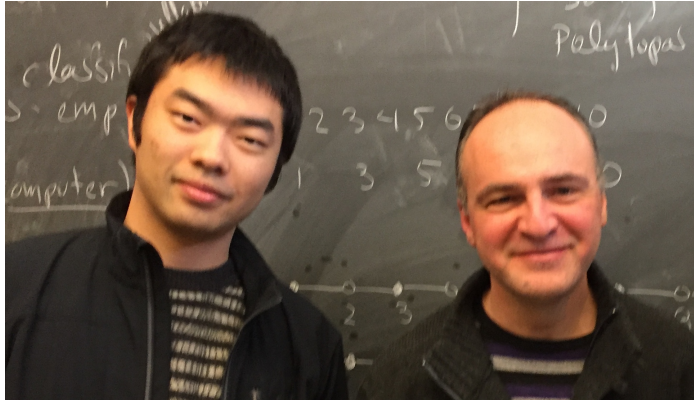
Provenientes del

Método Simplex

Jesús A. De Loera

Coloquio CINVESTAV

Joint work with Christos Athanasiadis and Zhenyang Zhang, Moise Blanchard and Quentin Louveaux, Laura Sanità and Sean Kafer, Alex Black.



# LA HISTORIA QUE LES VOY A CONTAR...

-Optimización es una rama vibrante de las Matemáticas Aplicadas. La meta es maximizar o minimizar una *función objetivo* sobre un conjunto de soluciones posibles! E.g., *Maximizar la ganacia, Minimizar el error, etc.* De preferencia usando computadoras...

Problemas de Optimización provienen de la ingeniería, administración y lógistica, las finanzas, bioinformática, ciencias de la computación, y mas recientemente, la inteligencia artificial. Cualquier area donde hay que tomar la “*mejor decisión*” o la “*solución óptima*”

# LA HISTORIA QUE LES VOY A CONTAR...

Optimización es una rama vibrante de las Matemáticas Aplicadas. La meta es maximizar o minimizar una *función objetivo* sobre un conjunto de soluciones posibles! E.g., *Maximizar la ganacia, Minimizar el error, etc.* De preferencia usando computadoras...

Problemas de Optimización provienen de la ingeniería, administración y lógistica, las finanzas, bioinformática, ciencias de la computación, y mas recientemente, la inteligencia artificial. Cualquier area donde hay que tomar la “*mejor decisión*” o la “*solución óptima*”

# LA HISTORIA QUE LES VOY A CONTAR...

Optimización es una rama vibrante de las Matemáticas Aplicadas. La meta es maximizar o minimizar una *función objetivo* sobre un conjunto de soluciones posibles! E.g., *Maximizar la ganacia, Minimizar el error, etc.* De preferencia usando computadoras...

Problemas de Optimización provienen de la ingeniería, administración y lógistica, las finanzas, bioinformática, ciencias de la computación, y mas recientemente, la inteligencia artificial. Cualquier area donde hay que tomar la “*mejor decisión*” o la “*solución óptima*”

# LA HISTORIA QUE LES VOY A CONTAR...

Optimización es una rama vibrante de las Matemáticas Aplicadas. La meta es maximizar o minimizar una *función objetivo* sobre un conjunto de soluciones posibles! E.g., *Maximizar la ganacia, Minimizar el error, etc.* De preferencia usando computadoras...

Problemas de Optimización provienen de la ingeniería, administración y lógistica, las finanzas, bioinformática, ciencias de la computación, y mas recientemente, la inteligencia artificial. Cualquier area donde hay que tomar la “*mejor decisión*” o la “*solución óptima*”

Esta charla es sobre como usar

**Geometría Algebraica y Topología** para entender y

mejorar algoritmos de **Optimización**

# LA HISTORIA QUE LES VOY A CONTAR...

Optimización es una rama vibrante de las Matemáticas Aplicadas. La meta es maximizar o minimizar una *función objetivo* sobre un conjunto de soluciones posibles! E.g., *Maximizar la ganacia, Minimizar el error, etc.* De preferencia usando computadoras...

Problemas de Optimización provienen de la ingeniería, administración y lógistica, las finanzas, bioinformática, ciencias de la computación, y mas recientemente, la inteligencia artificial. Cualquier area donde hay que tomar la “*mejor decisión*” o la “*solución óptima*”

Esta charla es sobre como usar

Geometría Algebraica y Topología para entender y

mejorar algoritmos de Optimización

¿ Es esta mezcla extraña? ¡Voy a convencerlos que no!

## El problema de Optimización lineal

$$\text{minimizar } c_1x_1 + c_2x_2 + \cdots + c_dx_d$$

**Subject to:**

$$a_{1,1}x_1 + a_{1,2}x_2 + \cdots + a_{1,d}x_d \leq b_1$$

$$a_{2,1}x_1 + a_{2,2}x_2 + \cdots + a_{2,d}x_d \leq b_2$$

⋮

$$a_{n,1}x_1 + a_{n,2}x_2 + \cdots + a_{n,d}x_d \leq b_n$$

## El problema de Optimización lineal

$$\text{minimizar } c_1x_1 + c_2x_2 + \cdots + c_dx_d$$

**Subject to:**

$$a_{1,1}x_1 + a_{1,2}x_2 + \cdots + a_{1,d}x_d \leq b_1$$

$$a_{2,1}x_1 + a_{2,2}x_2 + \cdots + a_{2,d}x_d \leq b_2$$

⋮

$$a_{n,1}x_1 + a_{n,2}x_2 + \cdots + a_{n,d}x_d \leq b_n$$

$a_{i,j}, b_i, c_j$  son números racionales,  $n$  es el número de desigualdades,  $d$  número de variables. La gente le llama **programa lineal**

# El problema de Optimización lineal

$$\text{minimizar } c_1x_1 + c_2x_2 + \cdots + c_dx_d$$

**Subject to:**

$$a_{1,1}x_1 + a_{1,2}x_2 + \cdots + a_{1,d}x_d \leq b_1$$

$$a_{2,1}x_1 + a_{2,2}x_2 + \cdots + a_{2,d}x_d \leq b_2$$

⋮

$$a_{n,1}x_1 + a_{n,2}x_2 + \cdots + a_{n,d}x_d \leq b_n$$

$a_{i,j}, b_i, c_j$  son números racionales,  $n$  es el número de desigualdades,  $d$  número de variables. La gente le llama **programa lineal** notación con matrices:

$$\min\{ \mathbf{c}^\top \mathbf{x} : A\mathbf{x} \leq \mathbf{b}, \quad \mathbf{x} \in \mathbb{R}^d \}.$$

# El problema de Optimización lineal

$$\text{minimizar } c_1x_1 + c_2x_2 + \cdots + c_dx_d$$

**Subject to:**

$$a_{1,1}x_1 + a_{1,2}x_2 + \cdots + a_{1,d}x_d \leq b_1$$

$$a_{2,1}x_1 + a_{2,2}x_2 + \cdots + a_{2,d}x_d \leq b_2$$

⋮

$$a_{n,1}x_1 + a_{n,2}x_2 + \cdots + a_{n,d}x_d \leq b_n$$

Agregando/cambio de variables re-escribimos el sistema

Minimizar  $\mathbf{q}^T \mathbf{y}$  subject to  $B\mathbf{y} = \mathbf{d}$  and  $\mathbf{y} \geq 0$ ;

**Optimización Lineal**



**Algebra Lineal sobre números reales NON-NEGATIVOS**

# El problema de Optimización lineal

$$\text{minimizar } c_1x_1 + c_2x_2 + \cdots + c_dx_d$$

**Subject to:**

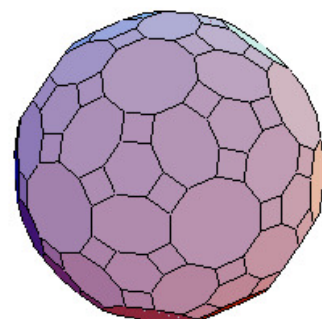
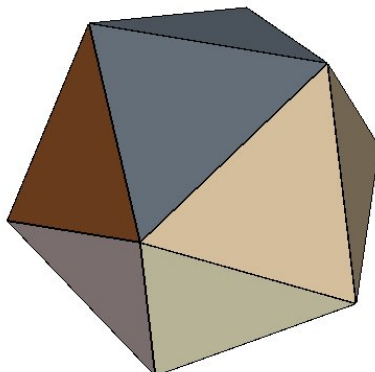
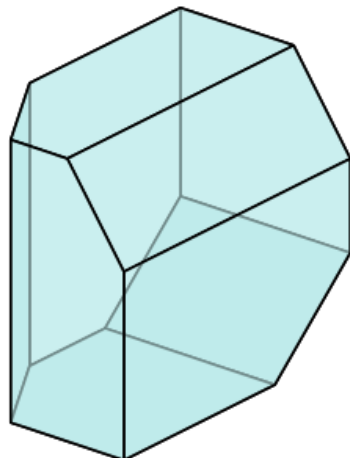
$$a_{1,1}x_1 + a_{1,2}x_2 + \cdots + a_{1,d}x_d \leq b_1$$

$$a_{2,1}x_1 + a_{2,2}x_2 + \cdots + a_{2,d}x_d \leq b_2$$

⋮

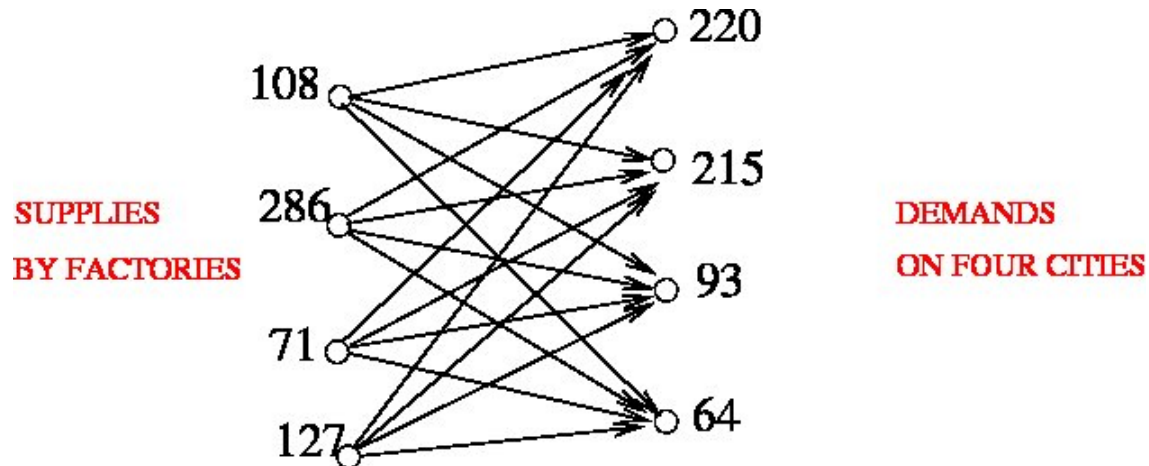
$$a_{n,1}x_1 + a_{n,2}x_2 + \cdots + a_{n,d}x_d \leq b_n$$

**IMPORTANTE:** Las soluciones posibles son un **políhedro convexo**,



# EJEMPLO: TRANSPORTE OPTIMO EN REDES

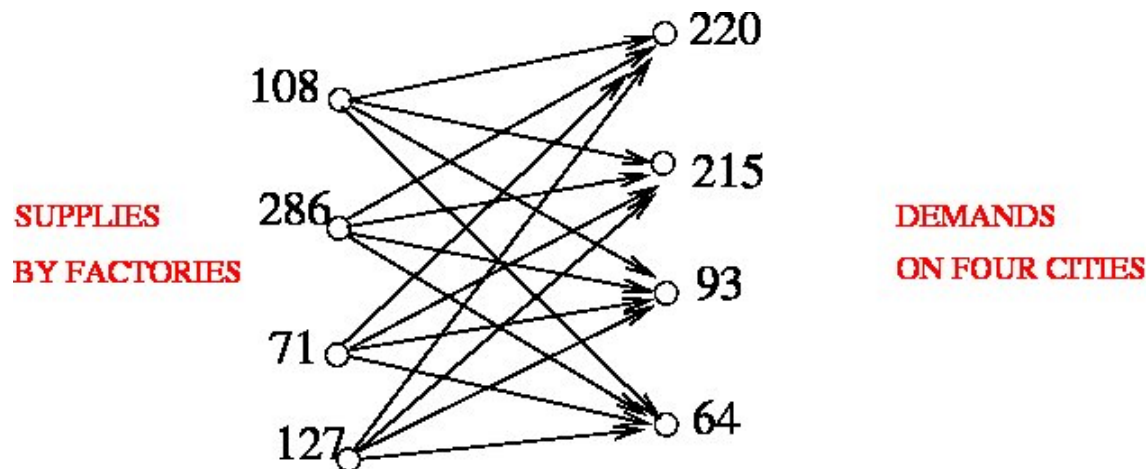
Problema de Transporte :  $N_1$  centros de producción and  $N_2$  sitios de consumo. Tiene costo  $c_{i,j}$  de transportar mercancía de centro de producción  $i$  al sitio de consumo  $j$ .



¿ Cual es la manera de asignar rutas de transporte que minimize el costo?

# EJEMPLO: TRANSPORTE OPTIMO EN REDES

Problema de Transporte :  $N_1$  centros de producción and  $N_2$  sitios de consumo. Tiene costo  $c_{i,j}$  de transportar mercancía de centro de producción  $i$  al sitio de consumo  $j$ .



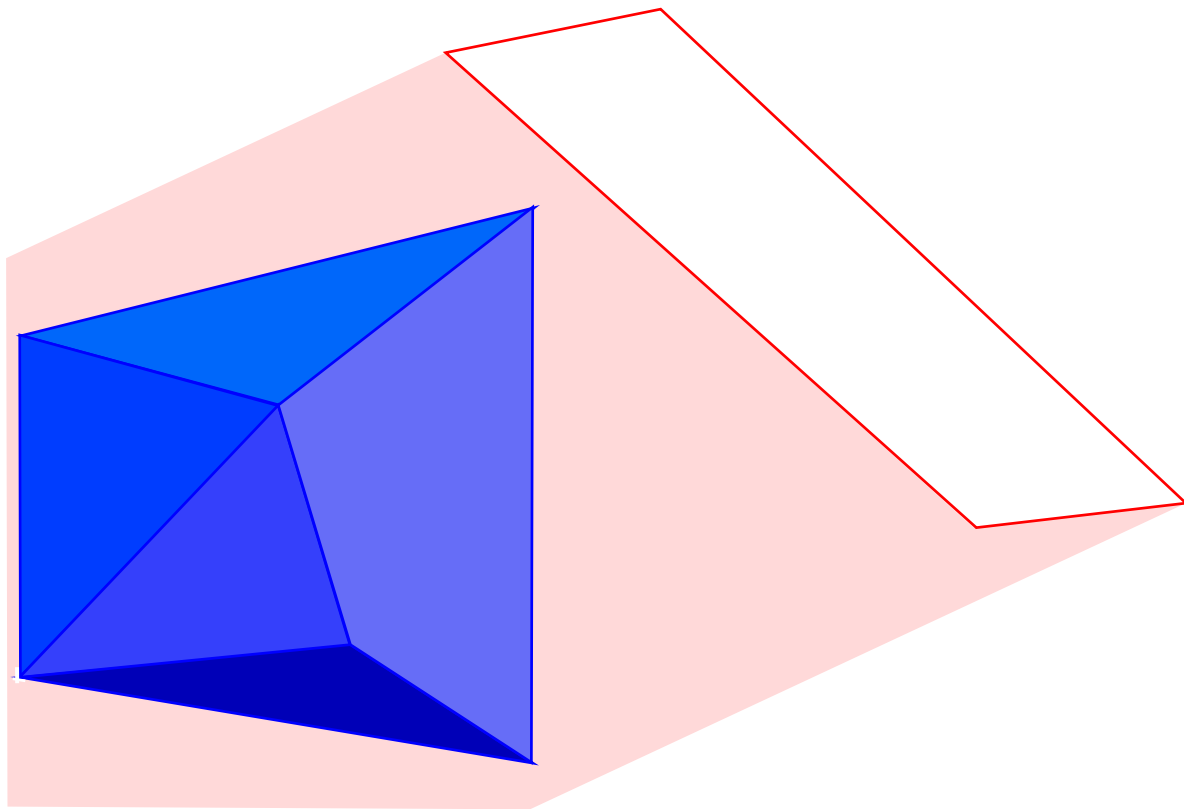
¿ Cual es la manera de asignar rutas de transporte que minimize el costo?

- Historia: Monge (1781) Kantorovich (1939) Koopmans (1941), von Neumann (1947).
- Aplicaciones: Distancia de Wasserstein, Contingency tables.

# ANATOMÍA DE UN POLITOPO $P$

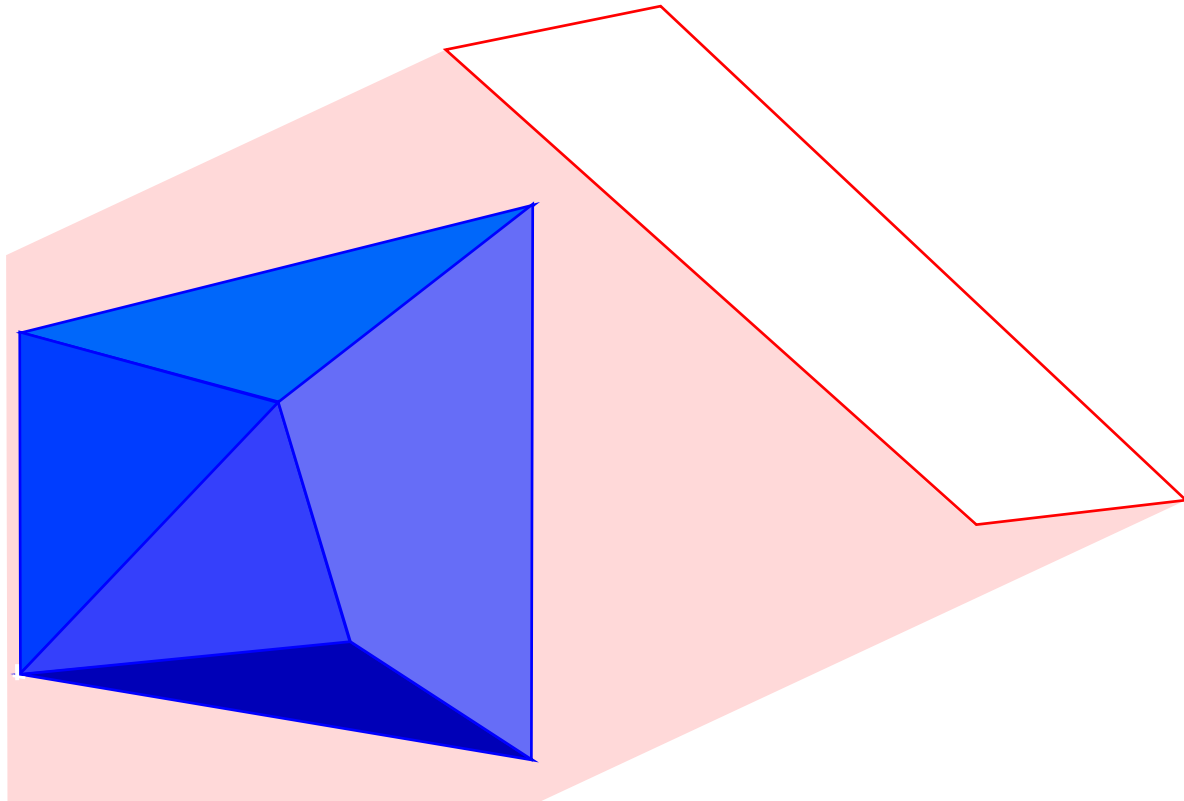
Let  $P$  be a  $d$ -politopo. Se compone de politopos de menor dimensiones (caras!)

# ANATOMÍA DE UN POLITOPO $P$



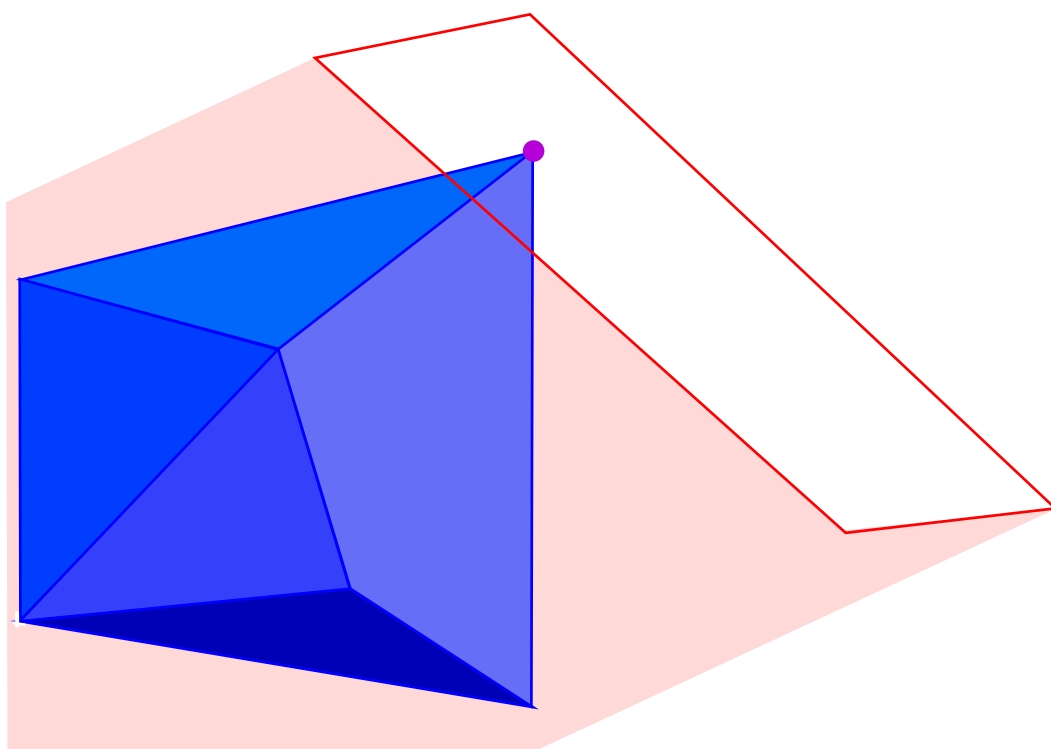
# ANATOMÍA DE UN POLITOPO $P$

Una **cara**  $F$  de  $P$  esta determinada por un hiperplano  $H$  is  $\partial H \cap P$ .

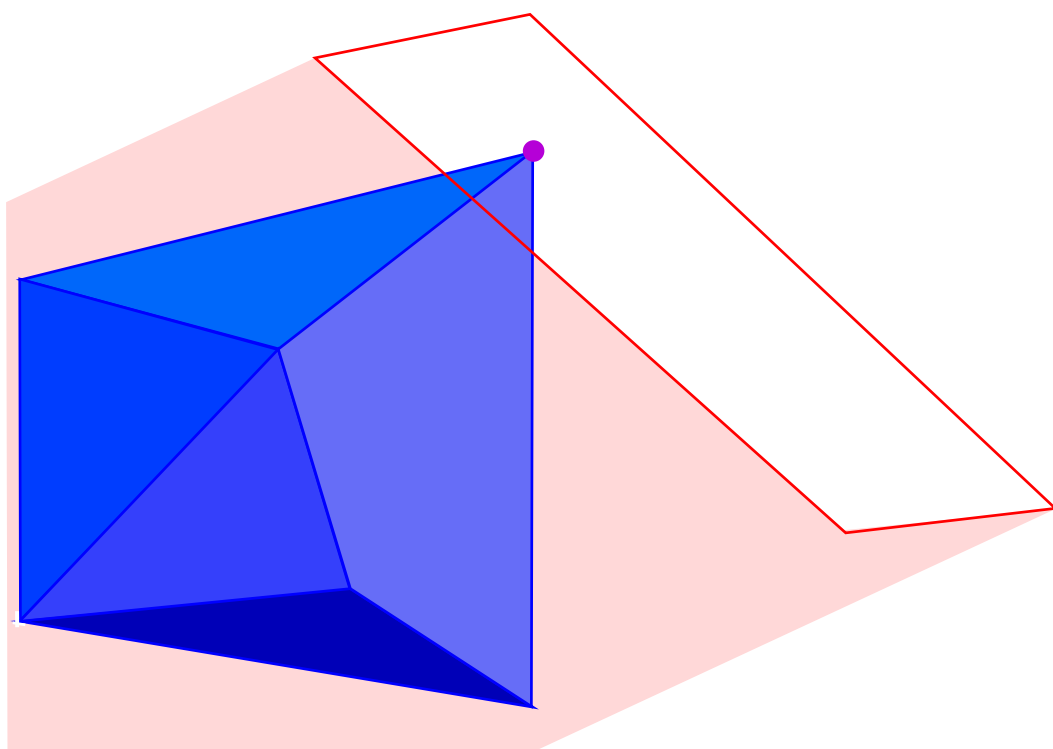


# ANATOMÍA DE UN POLITOPO $P$

Una **cara**  $F$  de  $P$  esta determinada por un hiperplano  $H$  is  $\partial H \cap P$ .

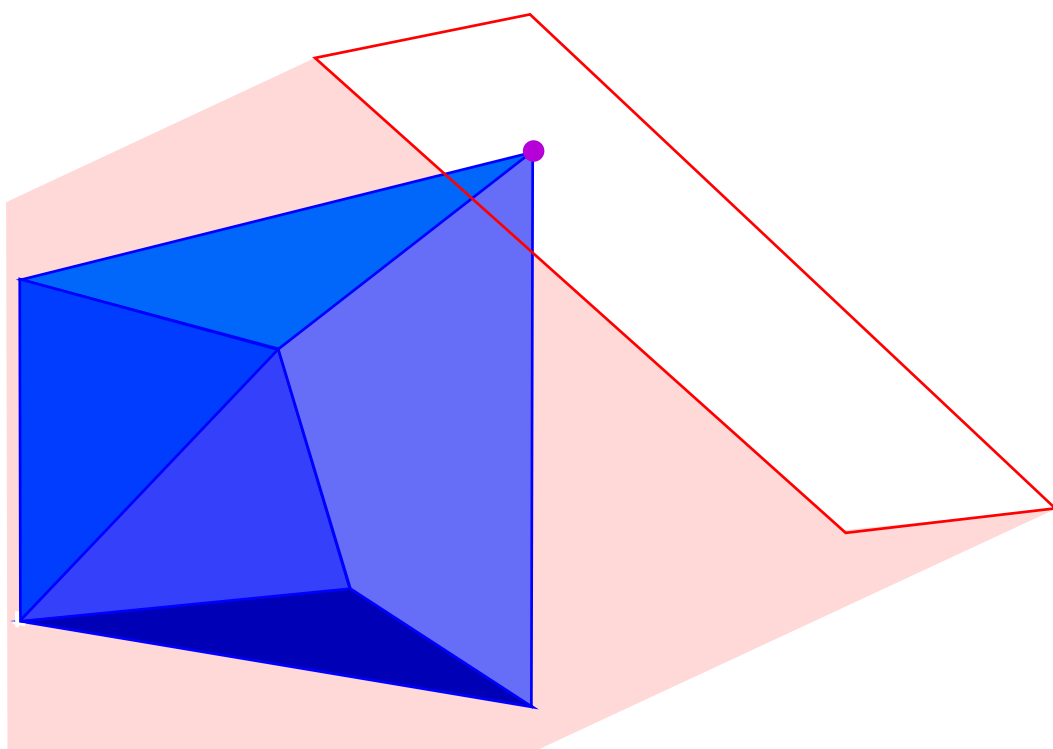


# ANATOMÍA DE UN POLITOPO $P$



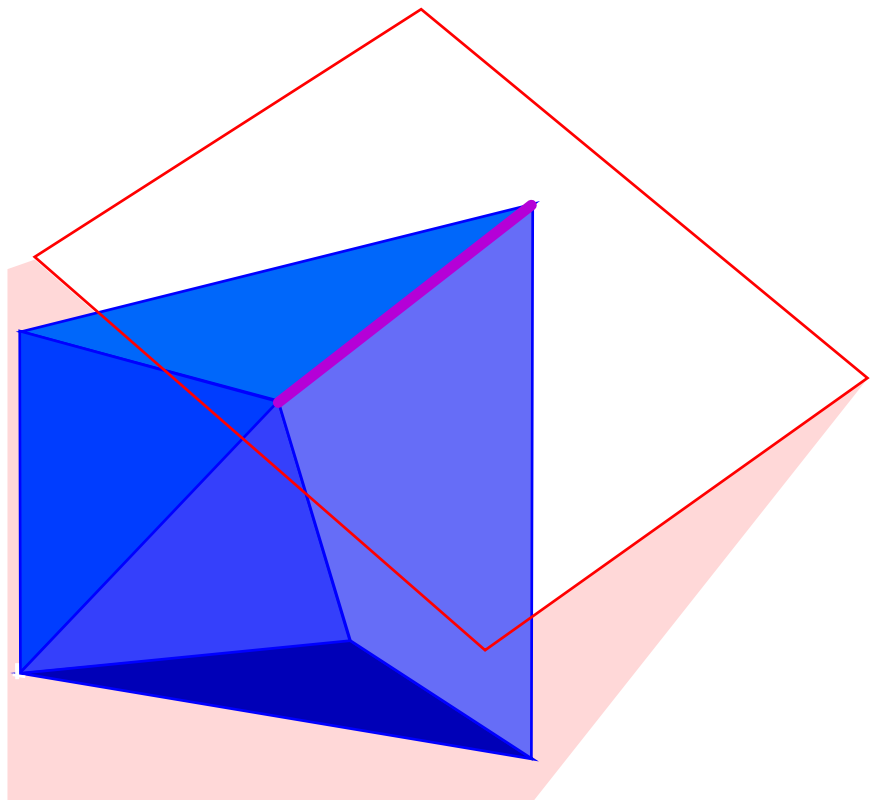
# ANATOMÍA DE UN POLITOPO $P$

Caras de dimensión 0 son **vertices**.



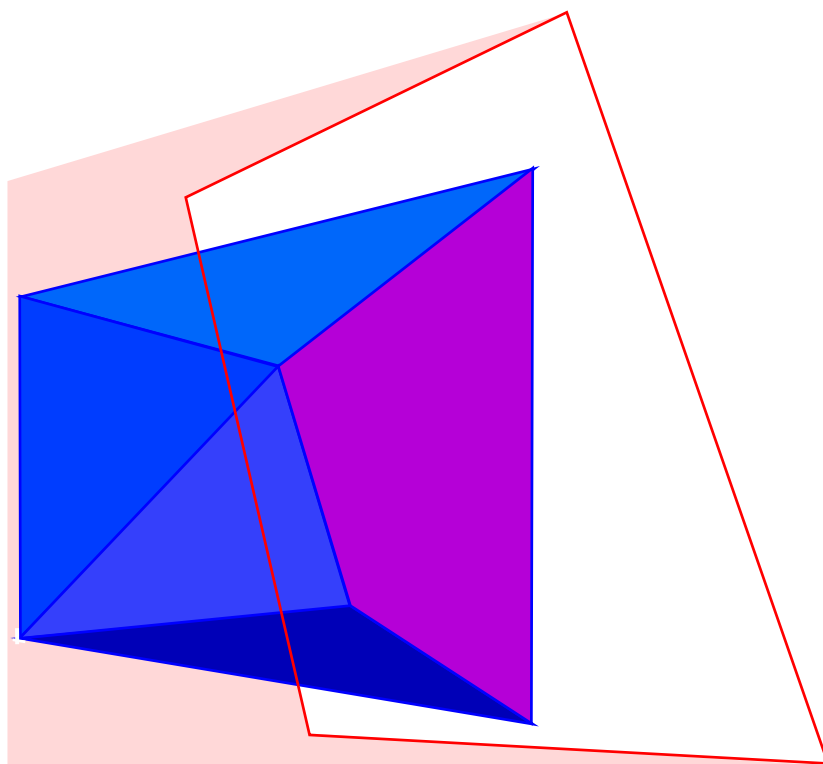
# ANATOMÍA DE UN POLITOPO $P$

Caras de dimensión 1 son **aristas**. Los vértices y las aristas of  $P$  forman una gráfica ó **1-esqueleto**  $G(P)$  of  $P$ .



# ANATOMÍA DE UN POLITOPO $P$

Caras of dimension  $d - 1$  are called **facetas**.



- La Optimización lineal es muy importante
  - Es un modelo matemático muy expresivo, además de transportación tenemos
    - *camino más corto en una red, planeación óptima*
    - *teoría de gráficas y de juegos,*
    - *Problemas de regresión estadística, etc.*
  - Aplicaciones
    - *Procesamiento de señales e imágenes,*
    - *Conjetura de Kepler,*
  - La optimización lineal es el caballo de batalla para solución o aproximación de problemas más difíciles combinatorios o no-lineales.
- Varios algoritmos posibles: Hoy voy a platicarles del método SIMPLEX

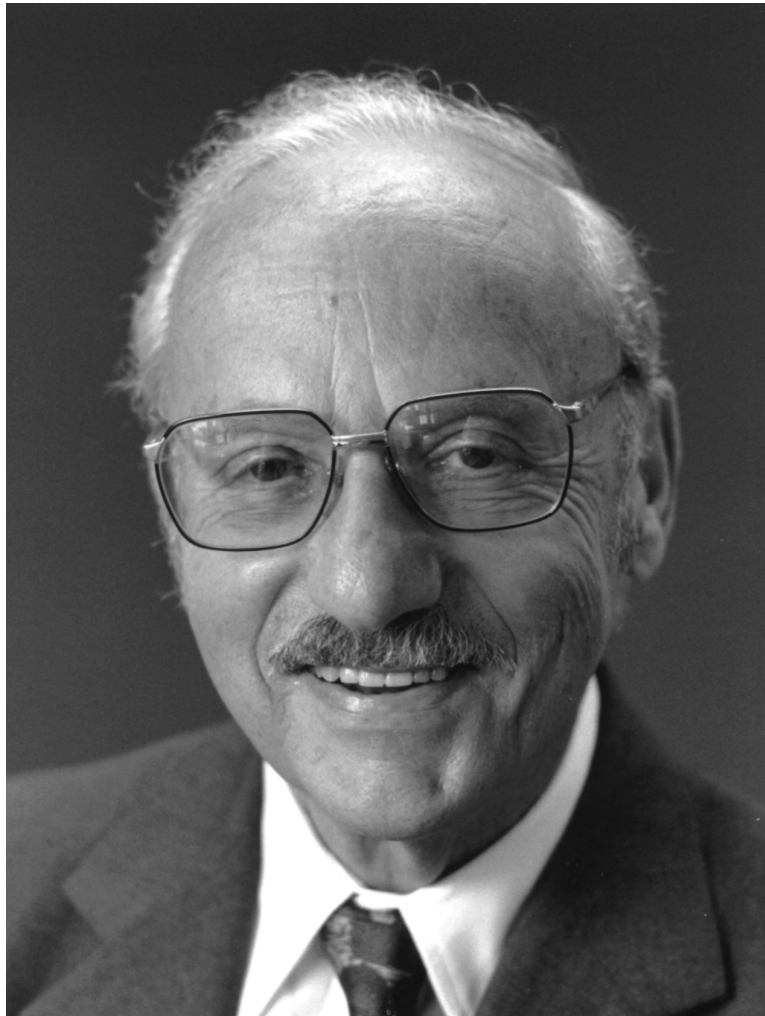
- La Optimización lineal es muy importante
  - Es un modelo matemático muy expresivo, además de transportación tenemos
    - *camino mas corto en una red, planeación óptima*
    - *teoría de gráficas y de juegos,*
    - *Problemas de regresión estadística, etc.*
  - Aplicaciones
    - *Procesamiento de señales e imágenes,*
    - *Conjetura de Kepler,*
  - La optimización lineal es el caballo de batalla para solución o aproximación de problemas más difíciles combinatorios o no-lineales.
- Varios algoritmos posibles: Hoy voy a platicarles del método SIMPLEX

- La Optimización lineal es muy importante
  - Es un modelo matemático muy expresivo, además de transportación tenemos
    - *camino mas corto en una red, planeación optima*
    - *teoría de gráficas y de juegos,*
    - *Problemas de regresión estadística, etc.*
  - Aplicaciones
    - *Procesamiento de señales e imágenes,*
    - *Conjetura de Kepler,*
  - La optimización lineal es el caballo de batalla para solución o aproximación de problemas más difíciles combinatorios o no-lineales.
- Varios algoritmos posibles: Hoy voy a platicarles del método SIMPLEX

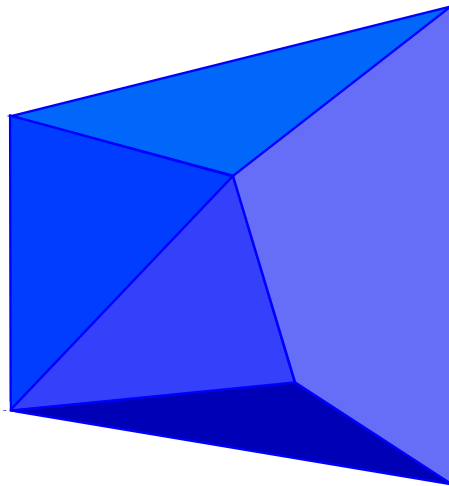
- La Optimización lineal es muy importante
  - Es un modelo matemático muy expresivo, además de transportación tenemos
    - *camino más corto en una red, planeación óptima*
    - *teoría de gráficas y de juegos,*
    - *Problemas de regresión estadística, etc.*
  - Aplicaciones
    - *Procesamiento de señales e imágenes,*
    - *Conjetura de Kepler,*
  - La optimización lineal es el caballo de batalla para solución o aproximación de problemas más difíciles combinatorios o no-lineales.
- Varios algoritmos posibles: Hoy voy a platicarles del método SIMPLEX

# EL MÉTODO SIMPLEX

George Dantzig, inventor del método (1947)

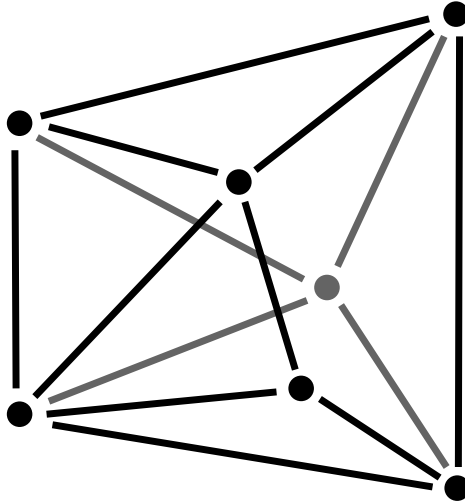


Los vértices y aristas de un politopo  $P$  forman una gráfica  $G(P)$



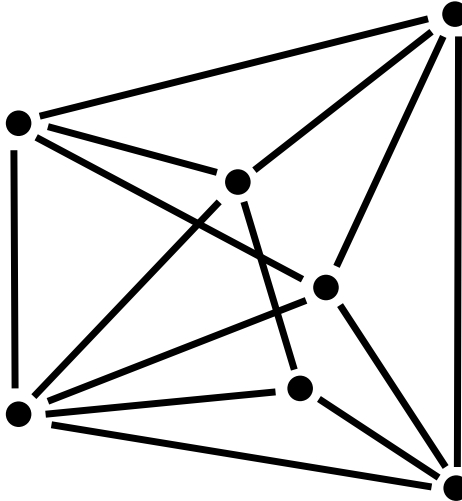
- La distancia  $d(v_1, v_2)$  entre un par de vértices  $v_1$  and  $v_2$  es el número de aristas en un camino mas corto de  $v_1$  a  $v_2$ .
- Ejemplo,  $d(v_1, v_2) = 2$ .
- The diámetro  $\delta = \max\{d(v_1, v_2) : v_1, v_2 \in V\}$  es la máxima distancia sobre todos pares de vértices.

Los vértices y aristas de un politopo  $P$  forman una gráfica  $G(P)$



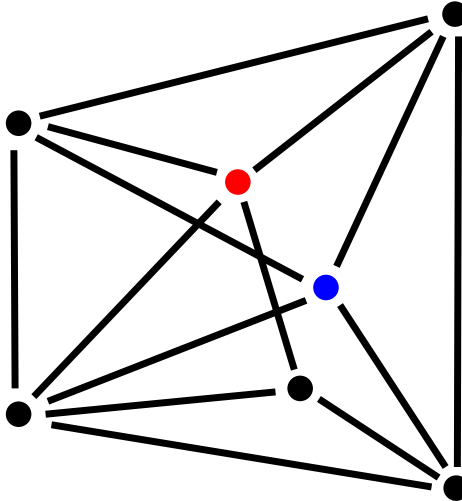
- La **distancia**  $d(v_1, v_2)$  entre un par de vértices  $v_1$  and  $v_2$  es el número de aristas en un camino mas corto de  $v_1$  a  $v_2$ .
- Ejemplo,  $d(v_1, v_2) = 2$ .
- The **diámetro**  $\delta = \max\{d(v_1, v_2) : v_1, v_2 \in V\}$  es la máxima distancia sobre todos pares de vértices.

Los vértices y aristas de un politopo  $P$  forman una gráfica  $G(P)$



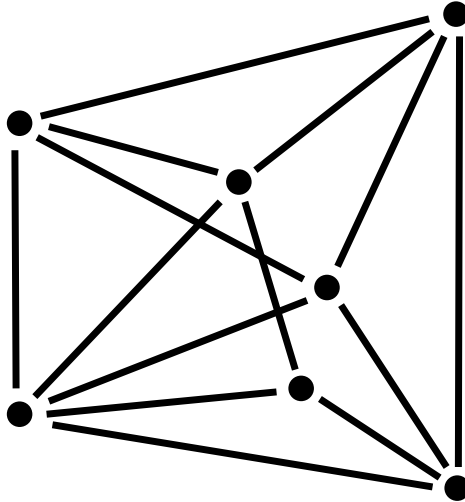
- La **distancia**  $d(v_1, v_2)$  entre un par de vértices  $v_1$  and  $v_2$  es el número de aristas en un camino mas corto de  $v_1$  a  $v_2$ .
- Ejemplo,  $d(v_1, v_2) = 2$ .
- The **diámetro**  $\delta = \max\{d(v_1, v_2) : v_1, v_2 \in V\}$  es la máxima distancia sobre todos pares de vértices.

Los vértices y aristas de un politopo  $P$  forman una gráfica  $G(P)$



- La **distancia**  $d(v_1, v_2)$  entre un par de vértices  $v_1$  and  $v_2$  es el número de aristas en un camino mas corto de  $v_1$  a  $v_2$ .
- Ejemplo,  $d(\textcolor{blue}{v}_1, \textcolor{red}{v}_2) = 2$ .
- The **diámetro**  $\delta = \max\{d(v_1, v_2) : v_1, v_2 \in V\}$  es la máxima distancia sobre todos pares de vértices.

Los vértices y aristas de un politopo  $P$  forman una gráfica  $G(P)$



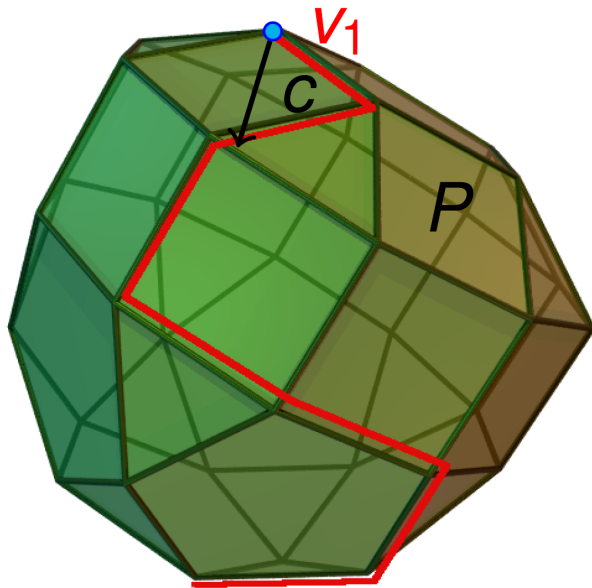
- La **distancia**  $d(v_1, v_2)$  entre un par de vértices  $v_1$  and  $v_2$  es el número de aristas en un camino mas corto de  $v_1$  a  $v_2$ .
- Ejemplo,  $d(\textcolor{blue}{v}_1, \textcolor{red}{v}_2) = 2$ .
- The **diámetro**  $\delta = \max\{d(v_1, v_2) : v_1, v_2 \in V\}$  es la máxima distancia sobre todos pares de vértices.

# EL MÉTODO SIMPLEX EN 2 MINUTOS

- **Lema:** Si hay una solución optima entonces hay una que está en un vértice. Solo hay un número finito de posibilidades.

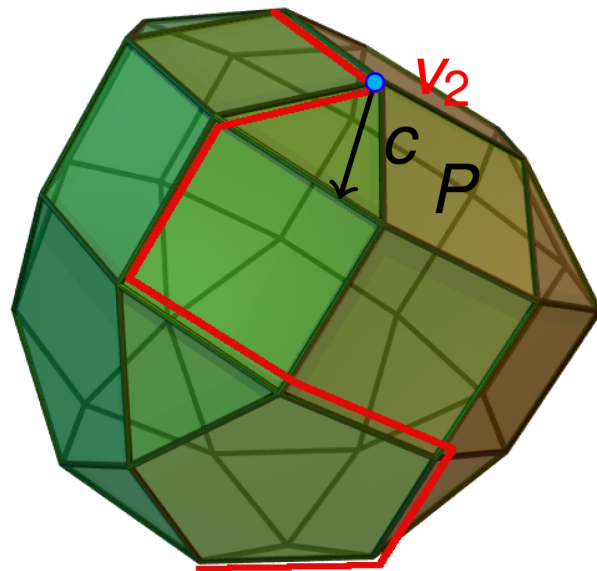
# EL MÉTODO SIMPLEX EN 2 MINUTOS

- **Lema:** Si hay una solución optima entonces hay una que está en un vértice. Solo hay un número finito de posibilidades.
- El método Simplex **camina** sobre la gráfica  $G(P)$ , a cada paso va a un vértice de mejor valor



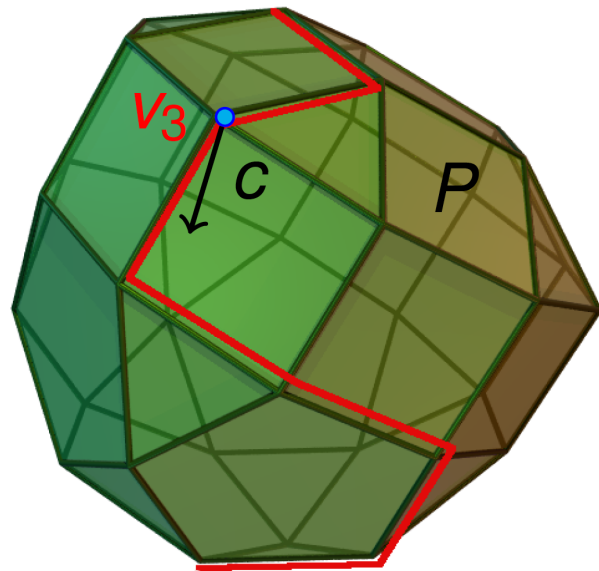
# EL MÉTODO SIMPLEX EN 2 MINUTOS

- **Lema:** Si hay una solución optima entonces hay una que está en un vértice. Solo hay un número finito de posibilidades.
- El método Simplex **camina** sobre la gráfica  $G(P)$ , a cada paso va a un vértice de mejor valor



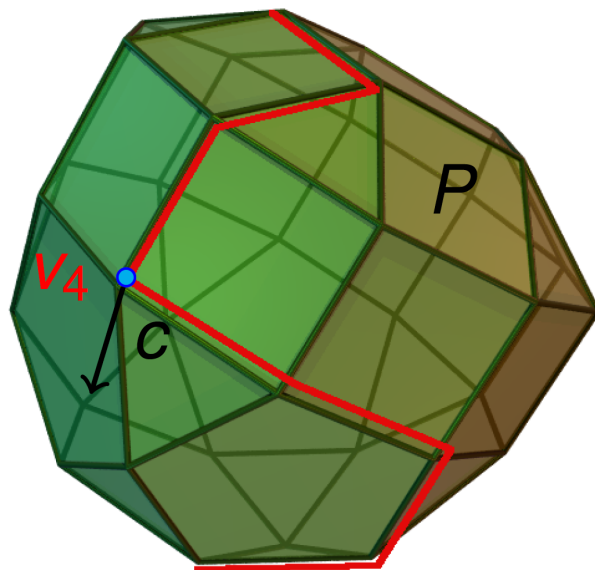
# EL MÉTODO SIMPLEX EN 2 MINUTOS

- **Lema:** Si hay una solución optima entonces hay una que está en un vértice. Solo hay un número finito de posibilidades.
- El método Simplex **camina** sobre la gráfica  $G(P)$ , a cada paso va a un vértice de mejor valor



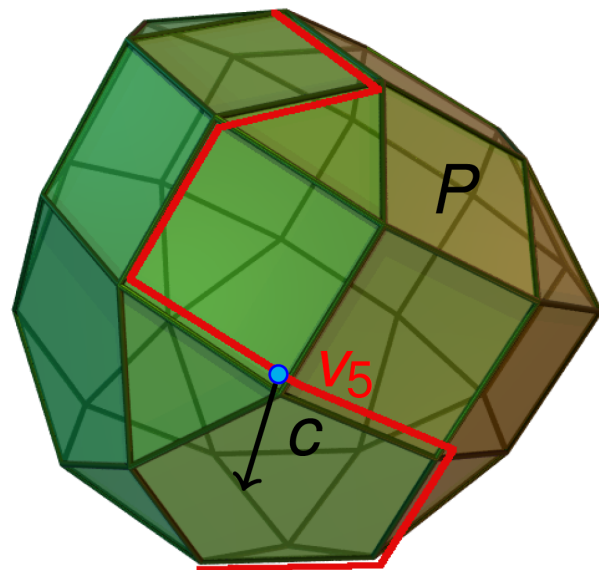
# EL MÉTODO SIMPLEX EN 2 MINUTOS

- **Lema:** Si hay una solución optima entonces hay una que está en un vértice. Solo hay un número finito de posibilidades.
- El método Simplex **camina** sobre la gráfica  $G(P)$ , a cada paso va a un vértice de mejor valor



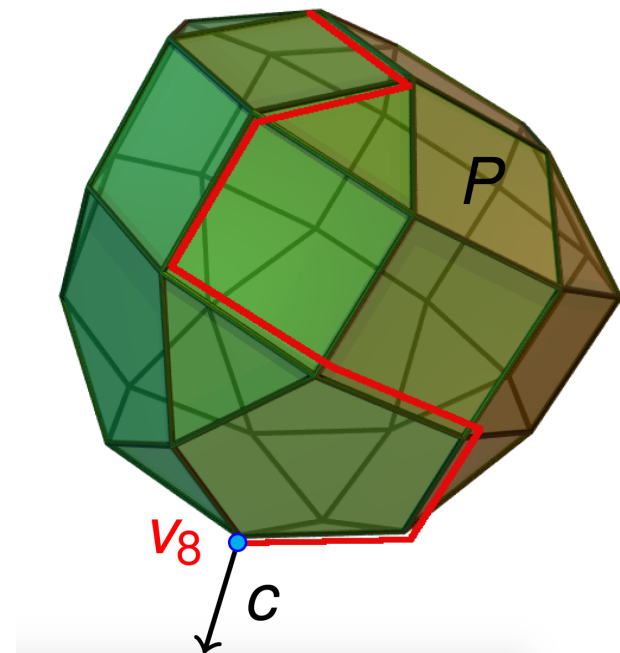
# EL MÉTODO SIMPLEX EN 2 MINUTOS

- **Lema:** Si hay una solución optima entonces hay una que está en un vértice. Solo hay un número finito de posibilidades.
- El método Simplex **camina** sobre la gráfica  $G(P)$ , a cada paso va a un vértice de mejor valor



# EL MÉTODO SIMPLEX EN 2 MINUTOS

- **Lema:** Si hay una solución optima entonces hay una que está en un vértice. Solo hay un número finito de posibilidades.
- El método Simplex **camina** sobre la gráfica  $G(P)$ , a cada paso va a un vértice de mejor valor



# GRAN PREGUNTA

¿ Hay una versión  
EFICIENTE del método  
Simplex?

significa el número de pasos  
es un polinomio en el tamaño  
del problema

# GRAN PREGUNTA:

## ¿Cuales son las cotas del diámetro de politopos?

**PELIGRO:** Si el diametro es exponencial, entonces el método simplex va a ser exponencial!

# GRAN PREGUNTA:

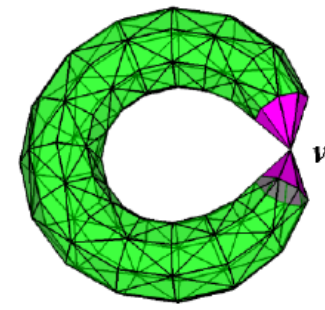
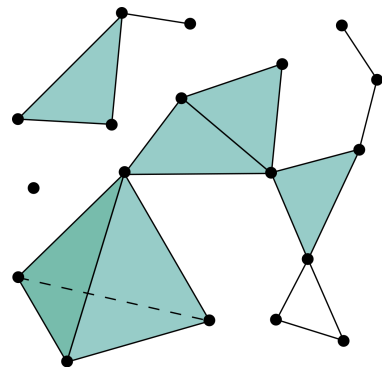
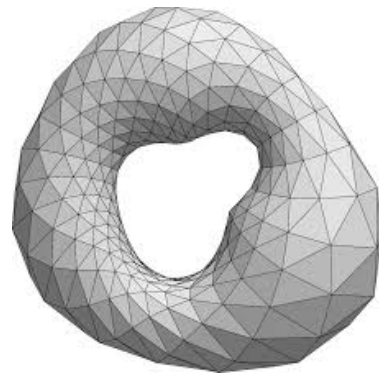
## ¿Cuales son las cotas del diámetro de politopos?

**PELIGRO:** Si el diametro es exponencial, entonces el método simplex va a ser exponencial!

# PUNTO DE VISTA TOPOLOGICO DEL MÉTODO SIMPLEX I

**KEY IDEA:** ¡Olvidar las coordenadas y ecuaciones! Usar la información topologica

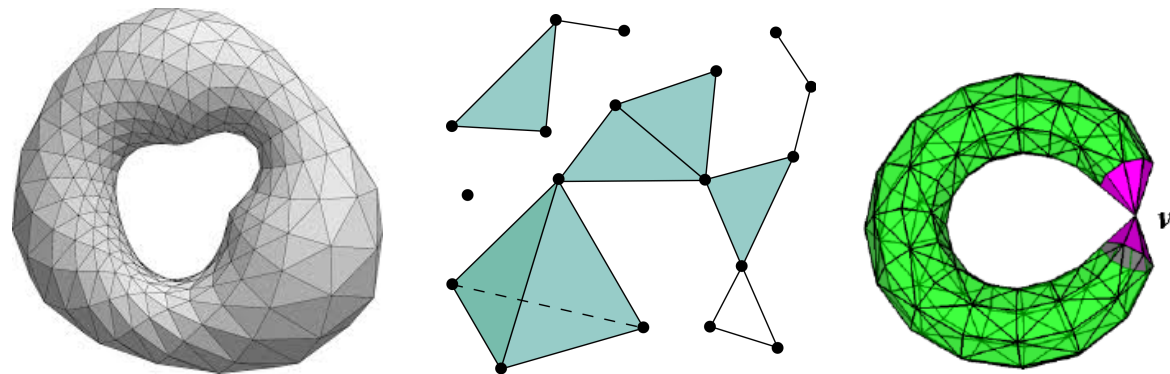
Diámetro de **complejos simpliciales** en lugar de politopos [Adler & Dantzig \(1970's\)](#)



# PUNTO DE VISTA TOPOLOGICO DEL MÉTODO SIMPLEX I

**KEY IDEA:** ¡Olvidar las coordenadas y ecuaciones! Usar la información topologica

Diámetro de **complejos simpliciales** en lugar de politopos [Adler & Dantzig \(1970's\)](#)

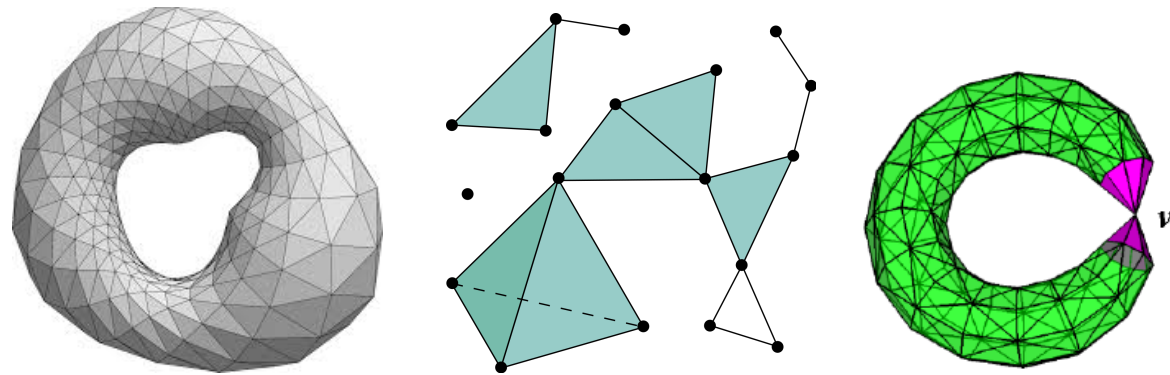


Un complejo simplicial  $K$  es una colección finita de [simplejos](#) pegados unos con otros de forma siguiente:

# PUNTO DE VISTA TOPOLOGICO DEL MÉTODO SIMPLEX I

**KEY IDEA:** ¡Olvidar las coordenadas y ecuaciones! Usar la información topologica

Diámetro de **complejos simpliciales** en lugar de politopos [Adler & Dantzig \(1970's\)](#)



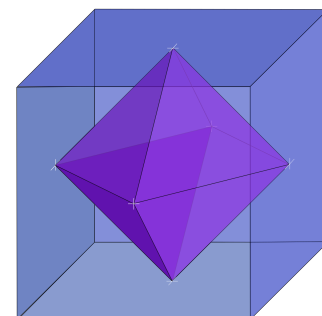
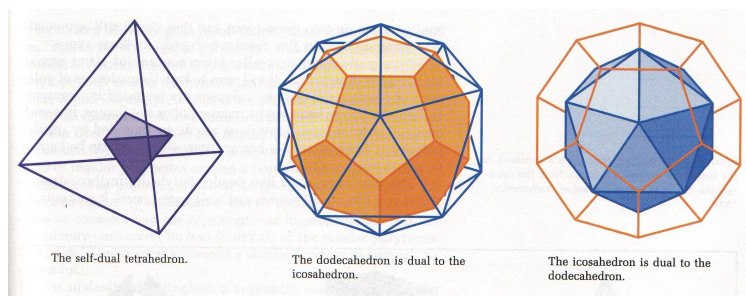
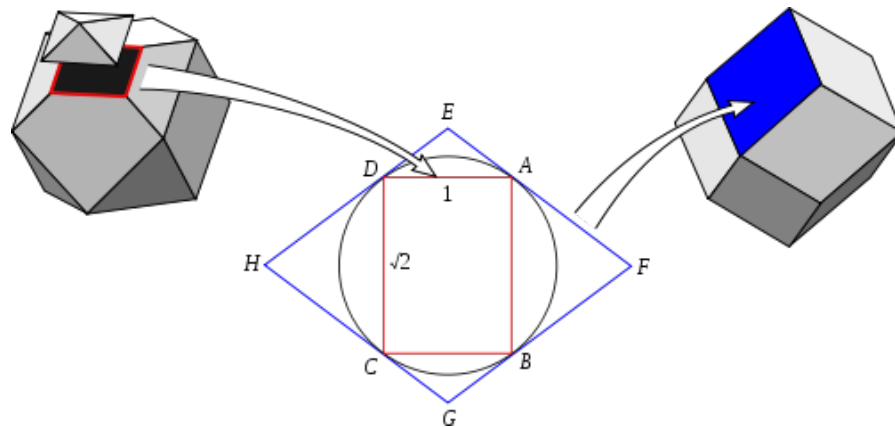
Un complejo simplicial  $K$  es una colección finita de [simplejos](#) pegados unos con otros de forma siguiente:

- Si  $\sigma \in K$  entonces todas sus caras son simplejos en  $K$ .
- La intersección de dos simplejos en  $K$  es otro simplejo en  $K$ .

**¿ Hace sentido esta abstracción?**

# PUNTO DE VISTA TOPOLOGICO DEL MÉTODO SIMPLEX II

**SI!** A cada politopo convexo simple se puede asociar un complejo simplicial usando **POLARIDAD**

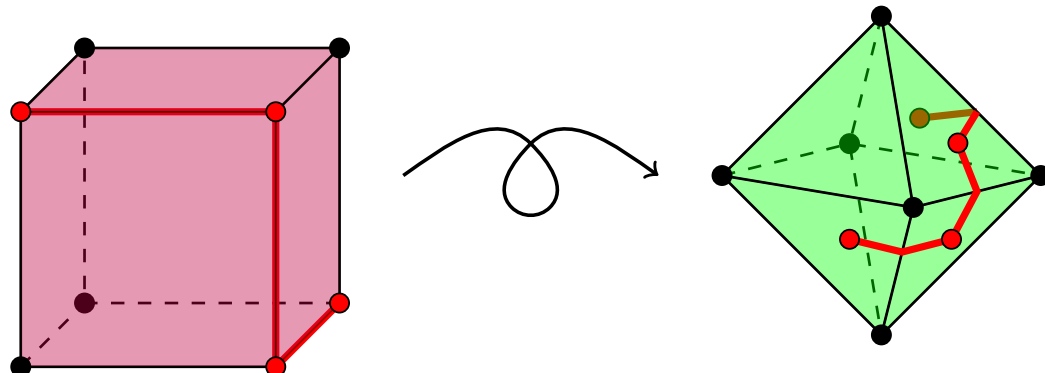


# PUNTO DE VISTA TOPOLOGICO DEL MÉTODO SIMPLEX

## III

Reducimos el diámetro of LPs al diametro de complejos simpliciales

- La **distancia** entre dos simplejos,  $F_1, F_2$ , es el numero menor de pasos de un camino simplicial de  $F_1 = f_0, f_1, \dots, f_k = F_2$ .
- El **diámetro** de un complejo simplicial es la máxima distancia entre un par de simplejos



# COTAS PARA EL DIÁMETRO

- Kalai-Kleitman:  $(\text{facetas}(P))^{\log(\dim(P))+1}$ .



# COTAS PARA EL DIÁMETRO

- Kalai-Kleitman:  $(\text{facetas}(P))^{\log(\dim(P))+1}$ .
- Todd, Sukegawa  $(\text{facetas}(P) - \dim(P))^{\log(O(\frac{\dim(P)}{\log(\dim(P))}))}$



# COTAS PARA EL DIÁMETRO

- **Kalai-Kleitman:**  $(\text{facetas}(P))^{\log(\dim(P)) + 1}$ .
- **Todd, Sukegawa**  $(\text{facetas}(P) - \dim(P))^{\log(O(\frac{\dim(P)}{\log(\dim(P))}))}$
- **Barnette, Larman:**  $\frac{2^{\dim(P)-3}}{3}(\text{facetas}(P) - \dim(P) + 5/2)$ .



# COTAS PARA EL DIÁMETRO

- Kalai-Kleitman:  $(\text{facetas}(P))^{\log(\dim(P)) + 1}$ .
- Todd, Sukegawa  $(\text{facetas}(P) - \dim(P))^{\log(O(\frac{\dim(P)}{\log(\dim(P))}))}$
- Barnette, Larman:  $\frac{2^{\dim(P)-3}}{3}(\text{facetas}(P) - \dim(P) + 5/2)$ .



**Teorema:** Estas cotas funcionan para complejos simpliciales tambien  
Eisenbrand-Hähnle-Razborov-Rothvoss (2010)

# COMPLEJOS SIMPLICIALES DE GRAN DIÁMETRO

- **Teorema:** Santos (2012) Construyó ejemplos de politopos con el mayor diametro conocido pero aun lineal en el numero de vertices.



- Theorem Criado and Santos (2015) Complejos simpliciales pueden tener diámetro exponencial.
- **Conjetura de Hirsch:** Hay una polynomio  $f(n, d)$  tal que todo politopo de dimension  $d$  con  $n$  facetas, tiene diámetro menor que  $f(n, d)$ .

# COMPLEJOS SIMPLICIALES DE GRAN DIÁMETRO

- **Teorema:** Santos (2012) Construyó ejemplos de politopos con el mayor diametro conocido pero aun lineal en el numero de vertices.



- **Theorem** Criado and Santos (2015) Complejos simpliciales pueden tener diámetro exponencial.
- **Conjetura de Hirsch:** Hay una polynomio  $f(n, d)$  tal que todo politopo de dimension  $d$  con  $n$  facetas, tiene diámetro menor que  $f(n, d)$ .

# COMPLEJOS SIMPLICIALES DE GRAN DIÁMETRO

- **Teorema:** Santos (2012) Construyó ejemplos de politopos con el mayor diametro conocido pero aun lineal en el numero de vertices.



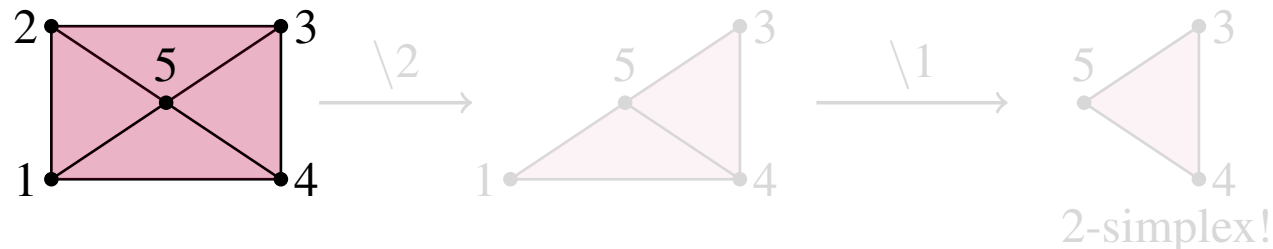
- **Theorem** Criado and Santos (2015) Complejos simpliciales pueden tener diámetro exponencial.
- **Conjetura de Hirsch:** Hay una polynomio  $f(n, d)$  tal que todo politopo de dimension  $d$  con  $n$  facetas, tiene diámetro menor que  $f(n, d)$ .

# COMPLEJOS SIMPLICIALES DESARMABLES TIENEN DIÁMETRO PEQUENÓ

## DEFINITION

Un complejo simplicial  $d$ -dimensional  $\Delta$  es **Desarmable** si

- ① Todos los simplejos de dimension máxima son de dimension  $d$  y
- ②  $\Delta$  is a  $d$ -simplejo, o existe un vértice  $\tau$  de  $\Delta$  tal que  $\Delta \setminus \tau$  is  $d$ -dimensional y desarmable.

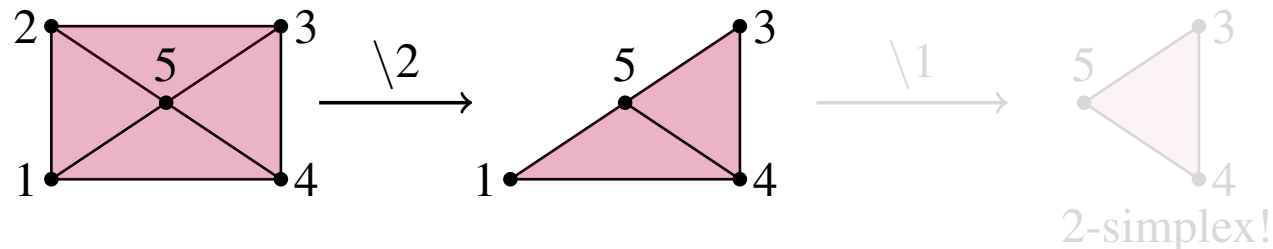


# COMPLEJOS SIMPLICIALES DESARMABLES TIENEN DIÁMETRO PEQUENÓ

## DEFINITION

Un complejo simplicial  $d$ -dimensional  $\Delta$  es **Desarmable** si

- ① Todos los simplejos de dimension máxima son de dimension  $d$  y
- ②  $\Delta$  is a  $d$ -simplejo, o existe un vértice  $\tau$  de  $\Delta$  tal que  $\Delta \setminus \tau$  is  $d$ -dimensional y desarmable.

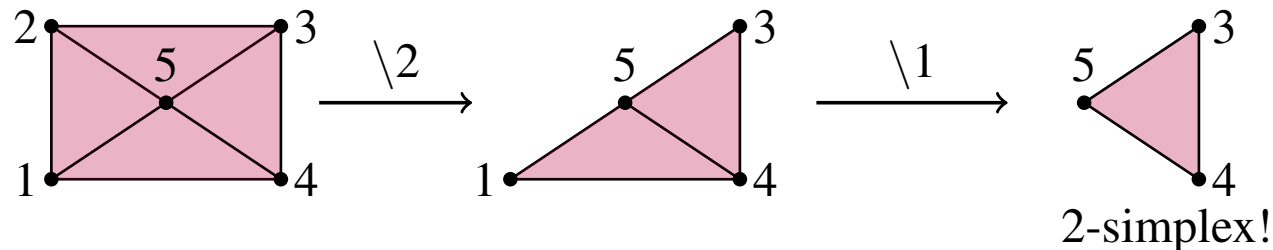


# COMPLEJOS SIMPLICIALES DESARMABLES TIENEN DIÁMETRO PEQUENÓ

## DEFINITION

Un complejo simplicial  $d$ -dimensional  $\Delta$  es **Desarmable** si

- ① Todos los simplejos de dimension máxima son de dimension  $d$  y
- ②  $\Delta$  is a  $d$ -simplejo, o existe un vértice  $\tau$  de  $\Delta$  tal que  $\Delta \setminus \tau$  is  $d$ -dimensional y desarmable.

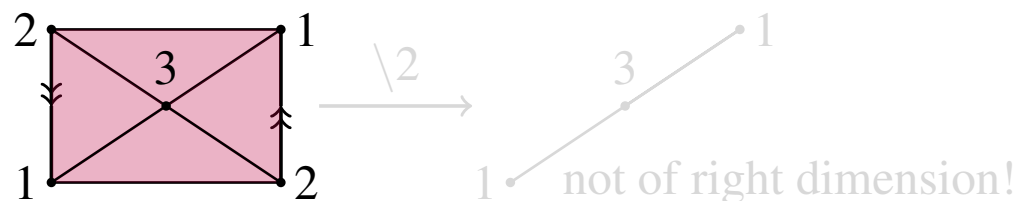
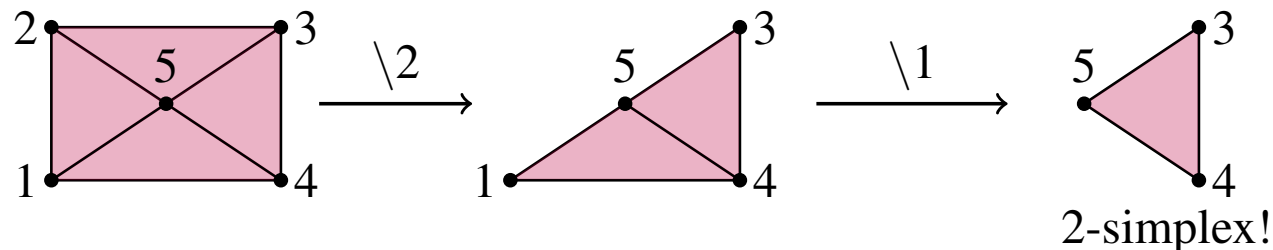


# COMPLEJOS SIMPLICIALES DESARMABLES TIENEN DIÁMETRO PEQUENÓ

## DEFINITION

Un complejo simplicial  $d$ -dimensional  $\Delta$  es **Desarmable** si

- ① Todos los simplejos de dimension máxima son de dimension  $d$  y
- ②  $\Delta$  is a  $d$ -simplejo, o existe un vértice  $\tau$  de  $\Delta$  tal que  $\Delta \setminus \tau$  is  $d$ -dimensional y desarmable.

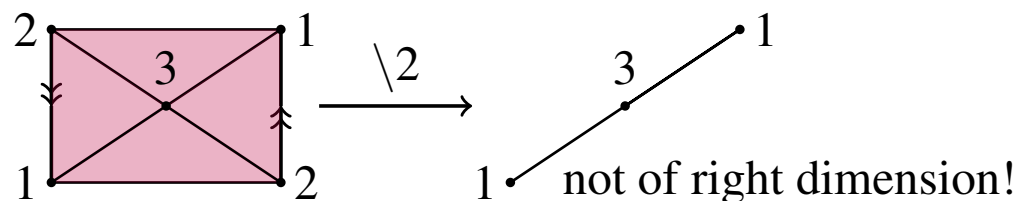
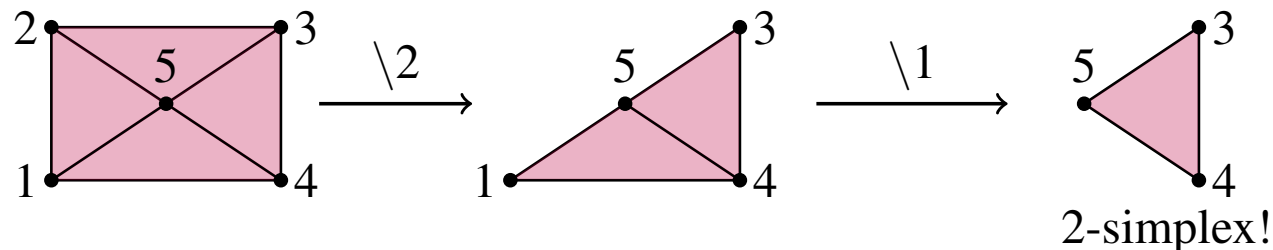


# COMPLEJOS SIMPLICIALES DESARMABLES TIENEN DIÁMETRO PEQUENÓ

## DEFINITION

Un complejo simplicial  $d$ -dimensional  $\Delta$  es **Desarmable** si

- ① Todos los simplejos de dimension máxima son de dimension  $d$  y
- ②  $\Delta$  is a  $d$ -simplejo, o existe un vértice  $\tau$  de  $\Delta$  tal que  $\Delta \setminus \tau$  is  $d$ -dimensional y desarmable.



# ¿ PORQUÉ IMPORTA?

THEOREM (BILLERA,PROVAN, 1980)

*Si  $\Delta$  es desarmable entonces el diámetro es lineal ( $n = f_0(\Delta)$ ):*

$$\text{diam}(\Delta) \leq 2f_0(\Delta) = 2n.$$

¿ Cuáles politopos simpliciales son desarmables?

Teorema ( JDL + S. Klee) Los politopos (duales) de transportación no son siempre desarmables!!

# ¿ PORQUÉ IMPORTA?

THEOREM (BILLERA,PROVAN, 1980)

*Si  $\Delta$  es desarmable entonces el diámetro es lineal ( $n = f_0(\Delta)$ ):*

$$\text{diam}(\Delta) \leq 2f_0(\Delta) = 2n.$$

¿ Cuáles politopos simpliciales son desarmables?

Teorema ( JDL + S. Klee) Los politopos (duales) de transportación no son siempre desarmables!!

# ¿ PORQUÉ IMPORTA?

THEOREM (BILLERA,PROVAN, 1980)

*Si  $\Delta$  es desarmable entonces el diámetro es lineal ( $n = f_0(\Delta)$ ):*

$$\text{diam}(\Delta) \leq 2f_0(\Delta) = 2n.$$

¿ Cuáles politopos simpliciales son desarmables?

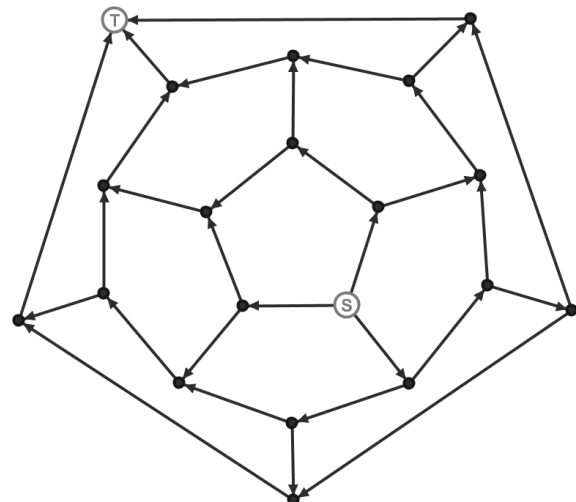
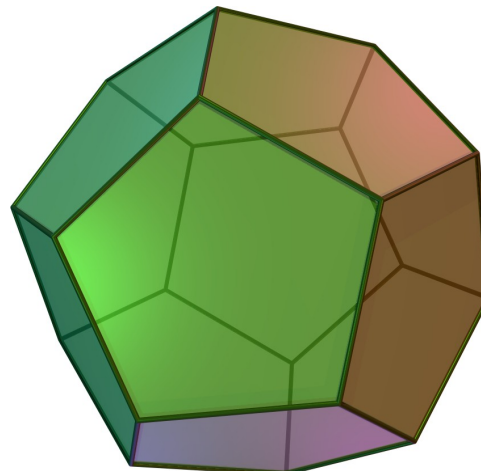
**Teorema ( JDL + S. Klee)** Los politopos (duales) de transportación no son siempre desarmables!!

# MONOTONE PATHS

- The **generic** linear functional  $c$  induces an orientation on the graph of  $P$ . Where edge joining  $v$  to  $u$  is oriented from  $v$  to  $u$  if  $c^T v < c^T u$ .

We call this directed graph  $\omega(P, c)$ .

- Note that  $\omega(P, c)$  is acyclic and has a unique source  $v_{\min}$  and a unique sink  $v_{\max}$ .

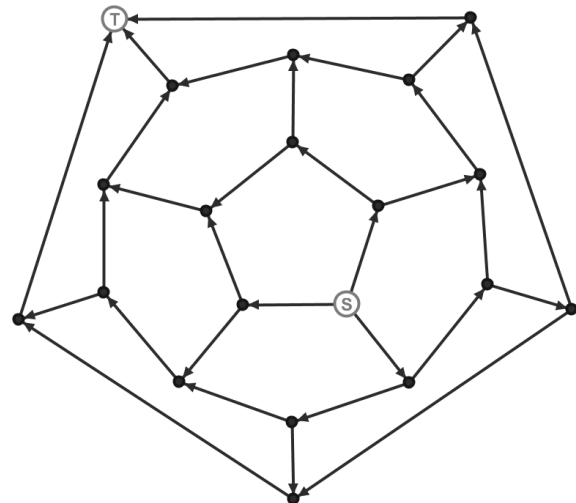
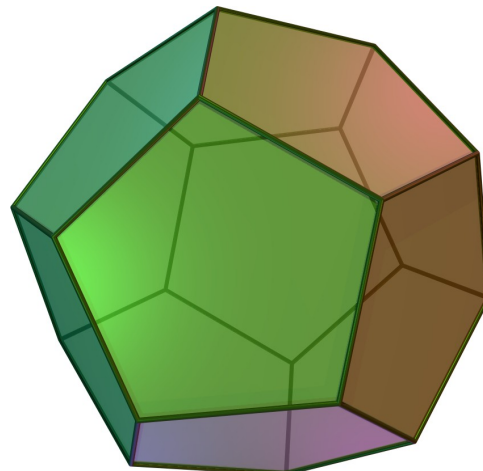


# MONOTONE PATHS

- The **generic** linear functional  $c$  induces an orientation on the graph of  $P$ . Where edge joining  $v$  to  $u$  is oriented from  $v$  to  $u$  if  $c^T v < c^T u$ .

We call this directed graph  $\omega(P, c)$ .

- Note that  $\omega(P, c)$  is acyclic and has a unique source  $v_{\min}$  and a unique sink  $v_{\max}$ .

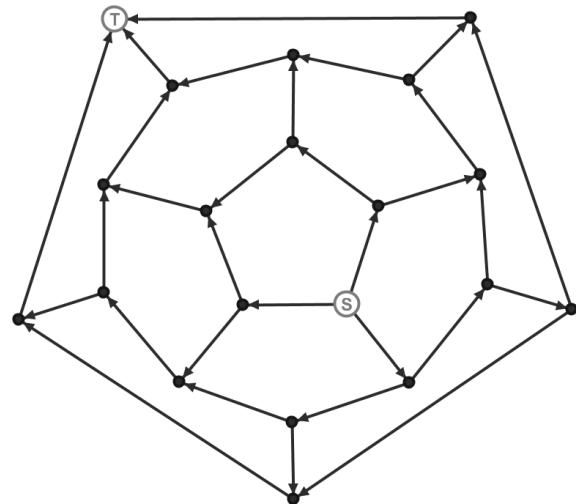
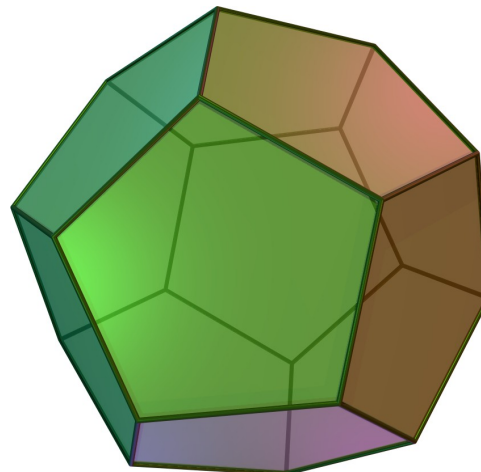


# MONOTONE PATHS

- The **generic** linear functional  $c$  induces an orientation on the graph of  $P$ . Where edge joining  $v$  to  $u$  is oriented from  $v$  to  $u$  if  $c^T v < c^T u$ .

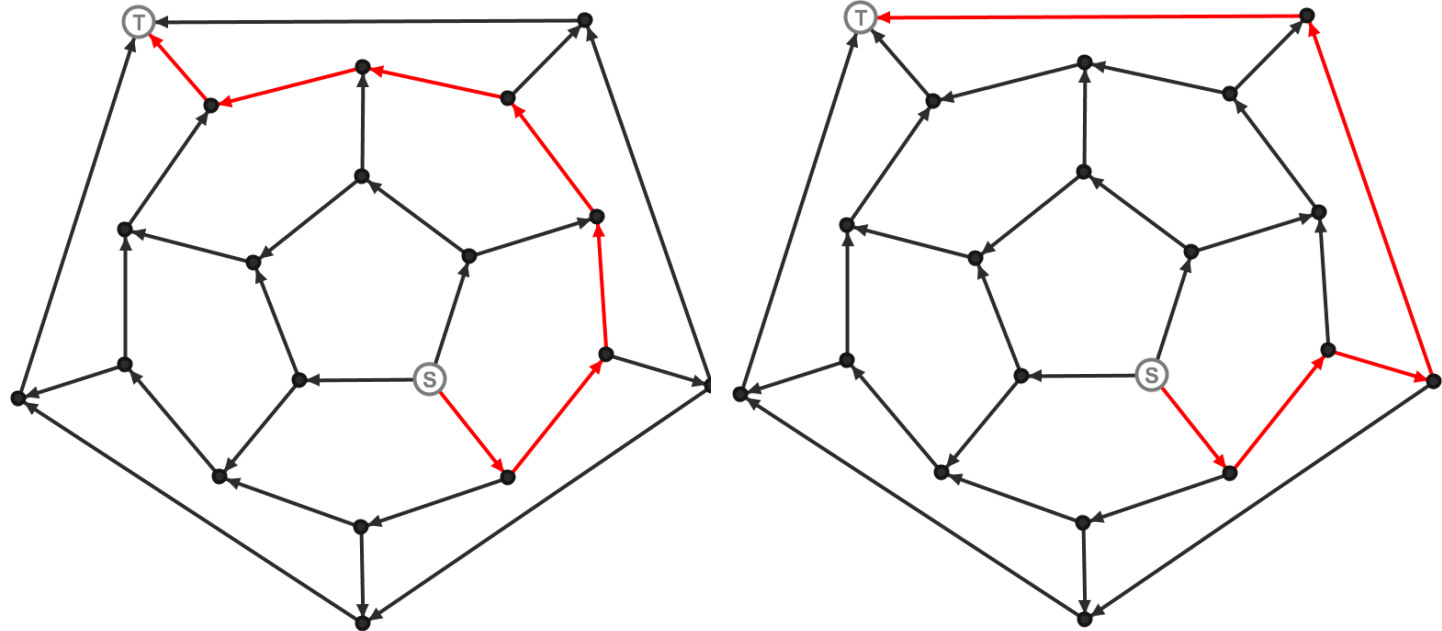
We call this directed graph  $\omega(P, c)$ .

- Note that  $\omega(P, c)$  is acyclic and has a unique source  $v_{\min}$  and a unique sink  $v_{\max}$ .



# MONOTONE PATHS ON POLYTOPES

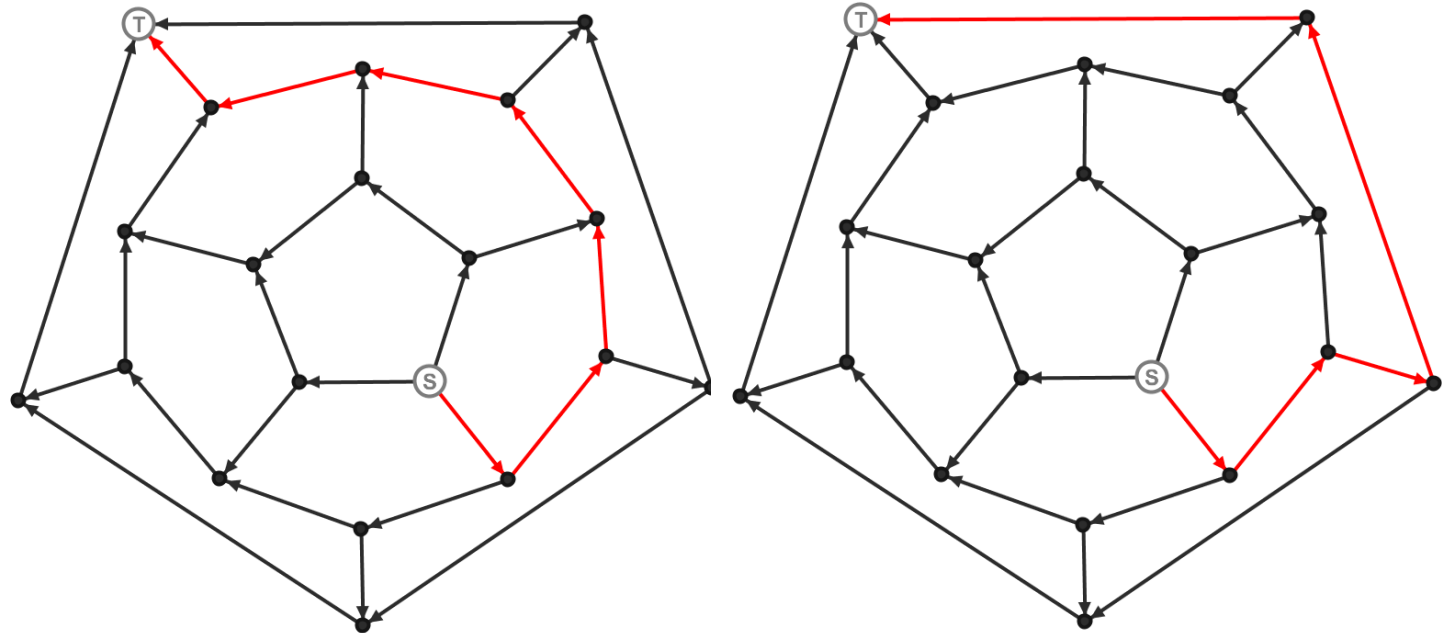
A  $c$ -monotone path on  $P$  is a directed path in  $\omega(P, f)$  from  $v_{\min}$  to  $v_{\max}$ .



NOTE: The lengths can change!!

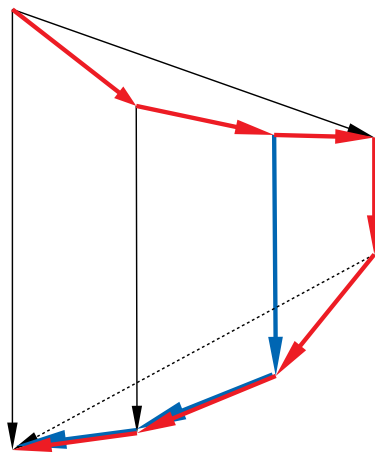
# MONOTONE PATHS ON POLYTOPES

A  $c$ -monotone path on  $P$  is a directed path in  $\omega(P, f)$  from  $v_{\min}$  to  $v_{\max}$ .



NOTE: The lengths can change!!

## REMARKS



**FIGURE:** Monotone paths on the Klee–Minty cube.

**(undirected) diameter  $\leq$  monotone diameter  $\leq$  height.**

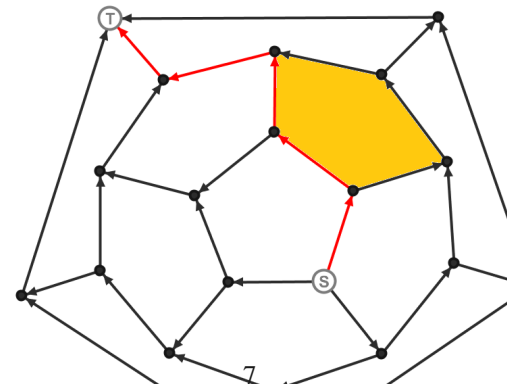
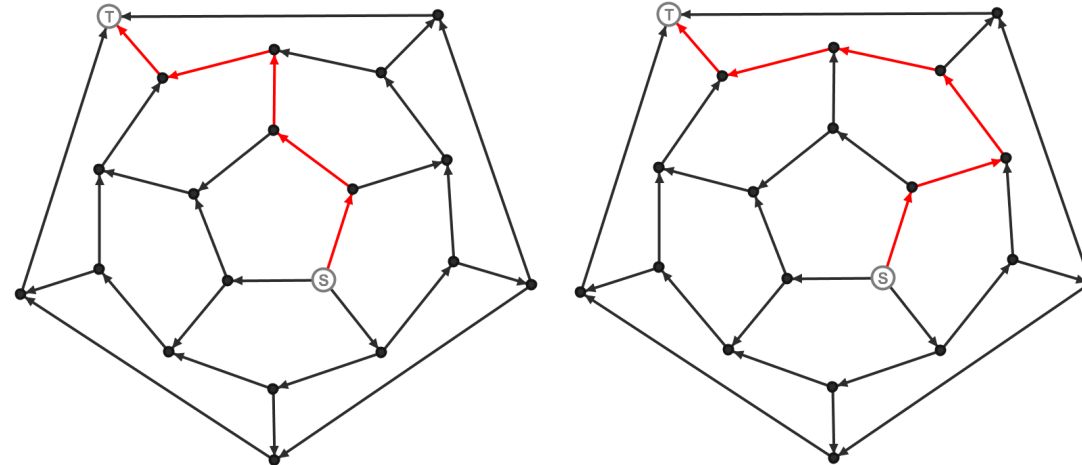
**Hirsch conjecture (1957):** diameter  $\leq$  |facets| – dimension.

-(undirected) Counter-example (F. Santos 2010), dimension 20.

-(directed monotone) Counter-example (M. Todd 1980), dimension 4.

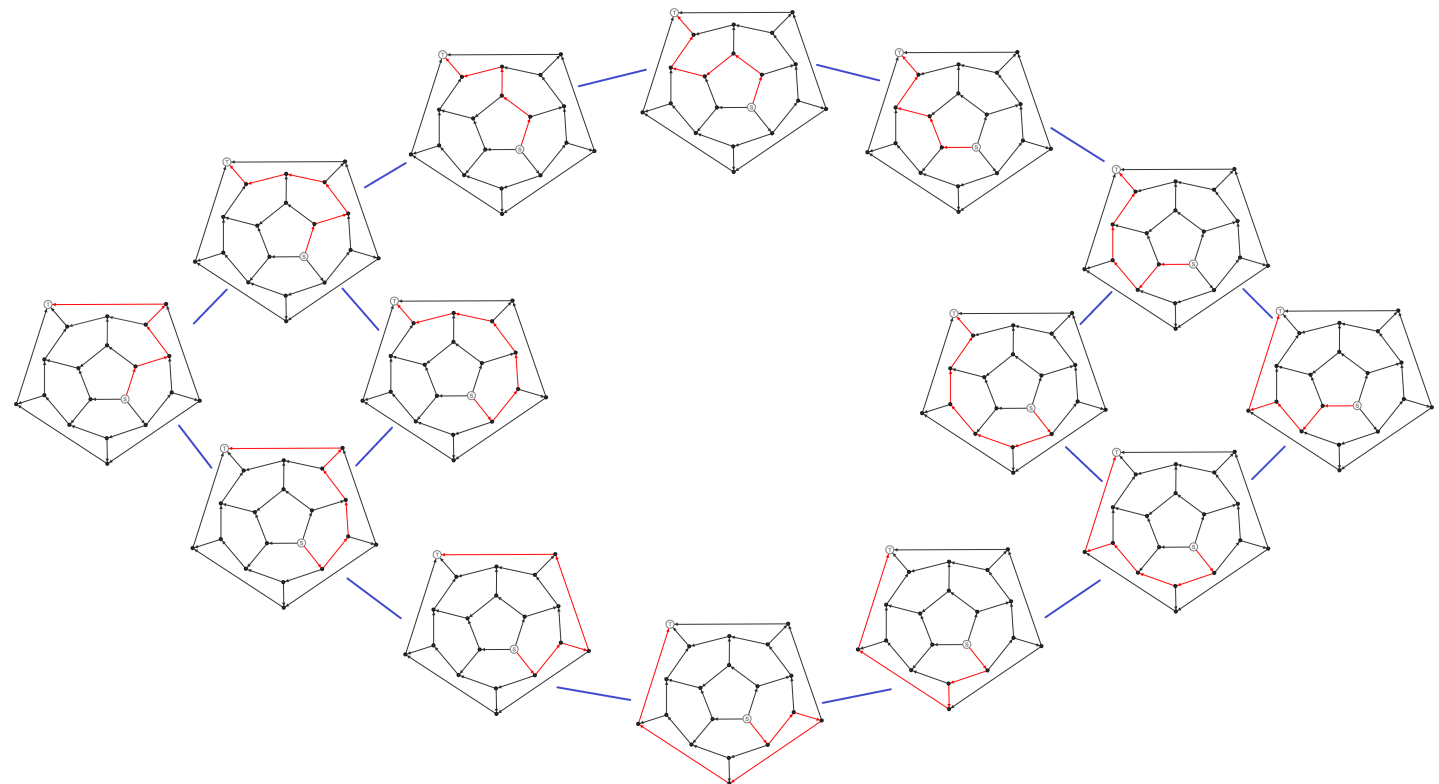
# THE FLIP GRAPH OF MONOTONE PATHS

Two  $f$ -monotone paths differ by a **polygon flip** across a 2-dimensional face  $F$  if they agree on all edges except follow two different paths on  $F$ .

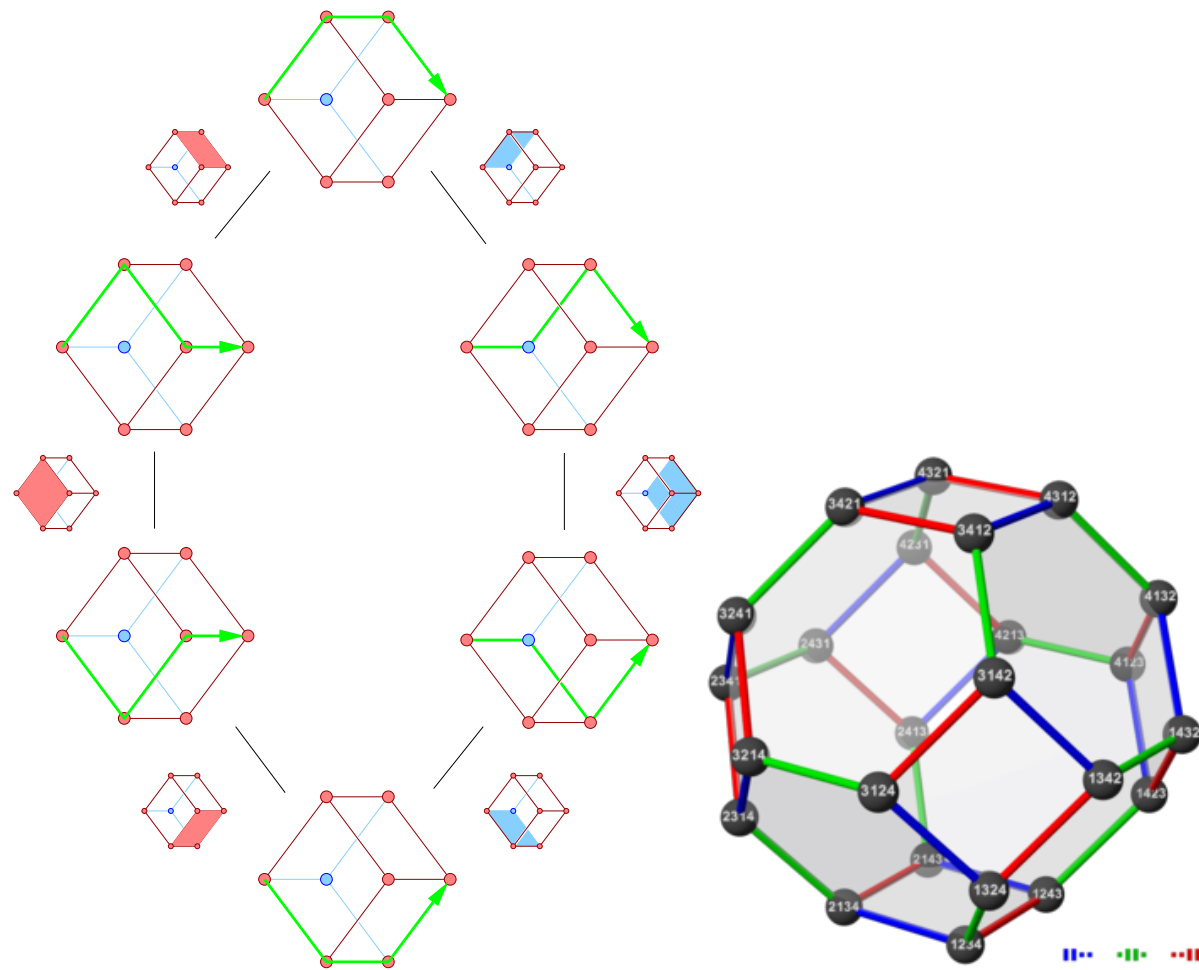


# FLIP GRAPH OF MONOTONE PATHS

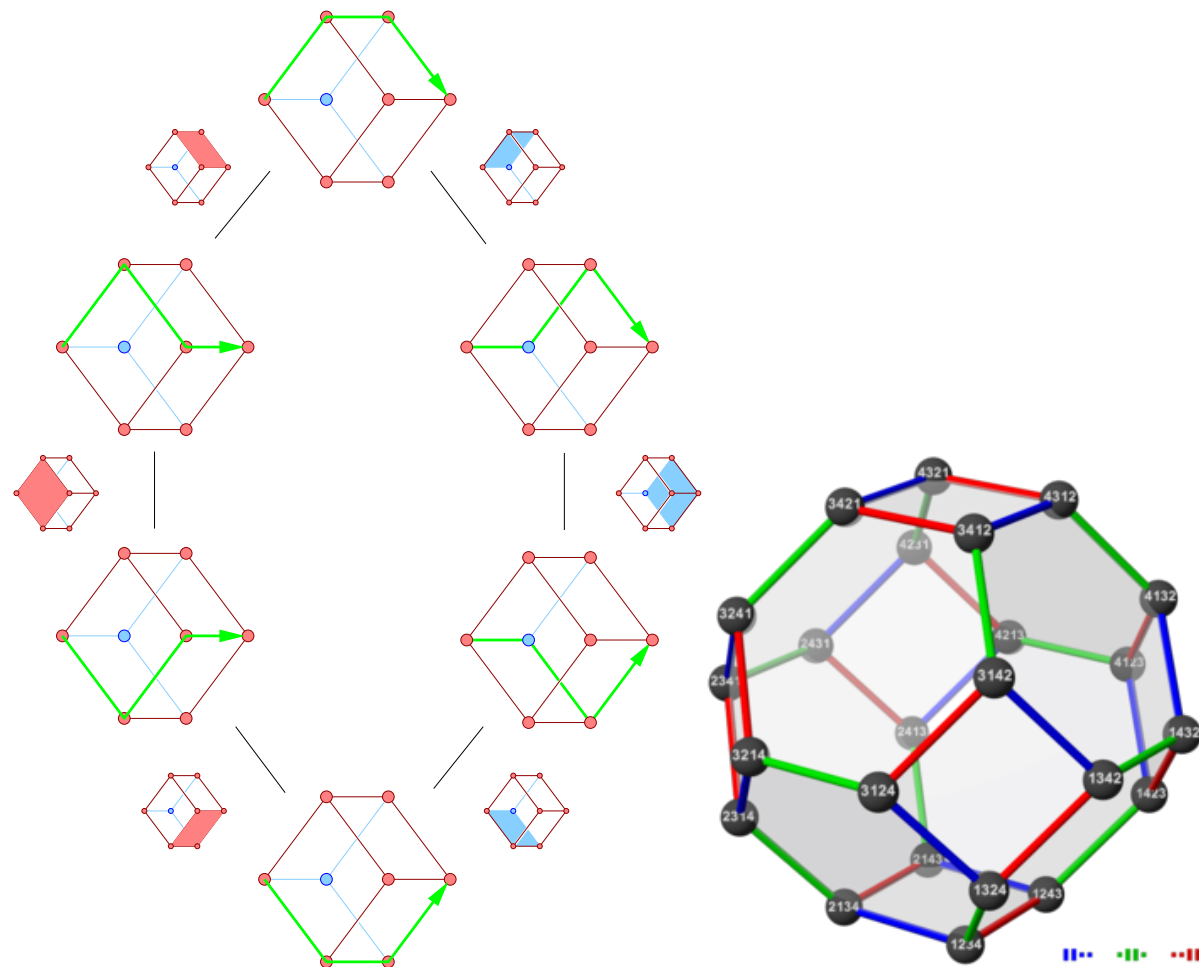
The **flip graph** is the (undirected) graph with nodes all  $f$ -monotone paths on  $P$  and edges are pairs of monotone paths which differ by a polygon flip.



# FLIP GRAPH OF THE CUBE



# FLIP GRAPH OF THE CUBE



# A CW-COMPLEX OF MONOTONE PATHS (FIBER POLYTOPES!)

- **Theorem** (Billera-Kapranov- Sturmfels 1994) There is a CW complex, built from a linear functional on a  $d$ -dimensional convex polytope, whose 1-skeleton is the entire flip graph. It has the homotopy type of the  $(d - 2)$ -sphere.
- **Corollary** The polygon flip graph is connected, because CW complex is actually connected
- **Theorem** (Athanasiadis-Edelman-Reiner 2000) Graph of  $c$ -monotone paths on a  $d$ -polytope  $P$  is  $(d - 1)$ -connected for simple polytopes, but the graph can be 2-connected for arbitrary  $d$ -polytope with  $d \geq 3$ .

# A CW-COMPLEX OF MONOTONE PATHS (FIBER POLYTOPES!)

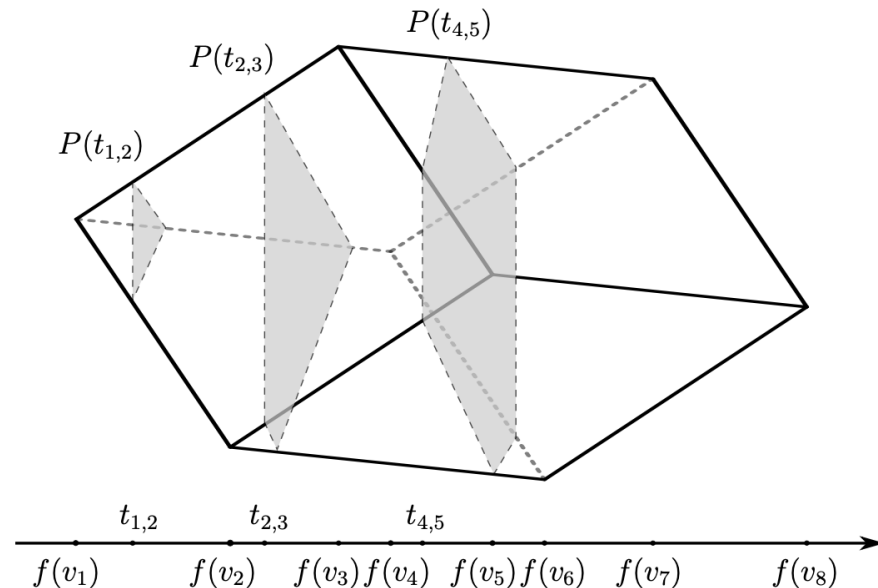
- **Theorem** (Billera-Kapranov- Sturmfels 1994) There is a CW complex, built from a linear functional on a  $d$ -dimensional convex polytope, whose 1-skeleton is the entire flip graph. It has the homotopy type of the  $(d - 2)$ -sphere.
- **Corollary** The polygon flip graph is connected, because CW complex is actually connected
- **Theorem** (Athanasiadis-Edelman-Reiner 2000) Graph of  $c$ -monotone paths on a  $d$ -polytope  $P$  is  $(d - 1)$ -connected for simple polytopes, but the graph can be 2-connected for arbitrary  $d$ -polytope with  $d \geq 3$ .

# A CW-COMPLEX OF MONOTONE PATHS (FIBER POLYTOPES!)

- **Theorem** (Billera-Kapranov- Sturmfels 1994) There is a CW complex, built from a linear functional on a  $d$ -dimensional convex polytope, whose 1-skeleton is the entire flip graph. It has the homotopy type of the  $(d - 2)$ -sphere.
- **Corollary** The polygon flip graph is connected, because CW complex is actually connected
- **Theorem** (Athanasiadis-Edelman-Reiner 2000) Graph of  $c$ -monotone paths on a  $d$ -polytope  $P$  is  $(d - 1)$ -connected for simple polytopes, but the graph can be 2-connected for arbitrary  $d$ -polytope with  $d \geq 3$ .

# FIBER POLYTOPES

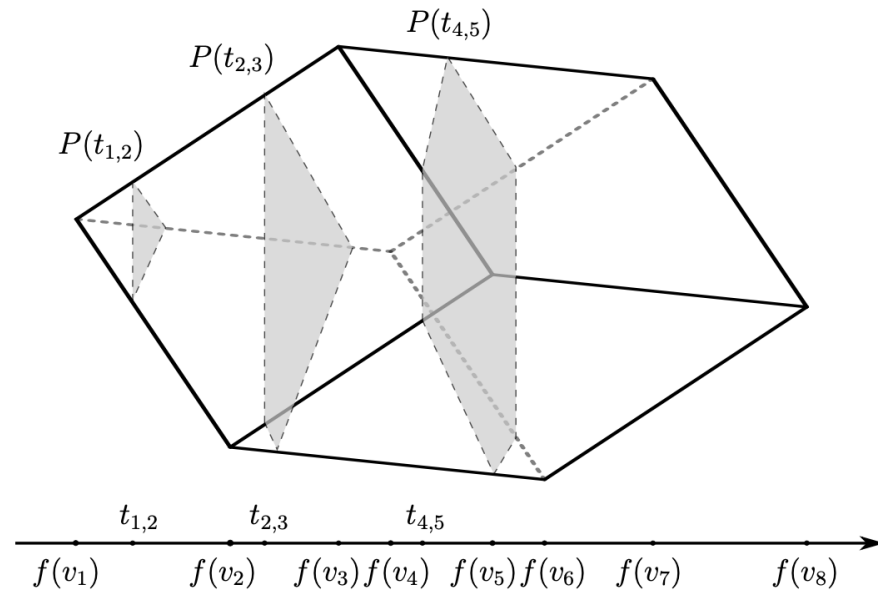
The linear function  $c$  yields a linear map of  $P$  to a line segment. There are finitely many different **fibers**



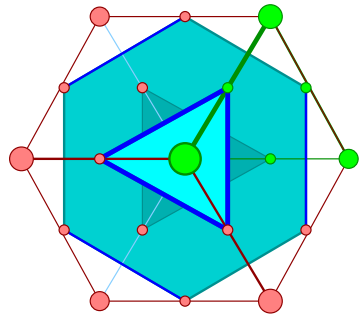
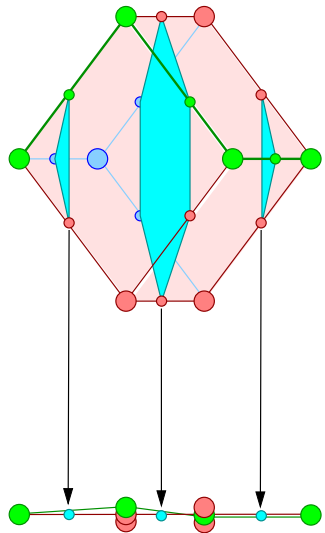
**Theorem (Billera-Sturmfels 1992)** The Minkowski sum of all the fibers gives rise to a **fiber polytope**, whose vertices are in bijection with the **coherent** monotone paths. The **coherent** Monotone paths are connected by polygon flips. **Monotone Path Polytopes**

# FIBER POLYTOPES

The linear function  $c$  yields a linear map of  $P$  to a line segment. There are finitely many different **fibers**



**Theorem** (Billera-Sturmfels 1992) The Minkowski sum of all the fibers gives rise to a **fiber polytope**, whose vertices are in bijection with the **coherent** monotone paths. The **coherent** Monotone paths are connected by polygon flips. **Monotone Path Polytopes**



$$\begin{array}{c} \textcolor{cyan}{\triangle} \frac{1}{3} + \textcolor{cyan}{\square} \frac{1}{3} + \textcolor{cyan}{\triangle} \frac{1}{3} = \textcolor{cyan}{\square} \end{array}$$

# OUR KEY QUESTIONS

## QUESTION A

What are the extremal values for **number of monotone paths** for every objective function  $f$  on polytopes  $P$  with fixed number of vertices and dimension?

## QUESTION B

What can be said of the **CW complex of monotone paths** or their **monotone path polytopes**? Can we bound the **diameter of polygon flip graph** for polytopes  $P$  with fixed number of vertices and dimension?

## QUESTION C

What are the **possible lengths for the monotone paths** on a polytope? E.g., How long can they get? How short? What lengths are possible?

Answering the questions requires understanding the **SPACE OF ALL MONOTONE PATHS**.

# OUR KEY QUESTIONS

## QUESTION A

What are the extremal values for **number of monotone paths** for every objective function  $f$  on polytopes  $P$  with fixed number of vertices and dimension?

## QUESTION B

What can be said of the **CW complex of monotone paths** or their **monotone path polytopes**? Can we bound the **diameter of polygon flip graph** for polytopes  $P$  with fixed number of vertices and dimension?

## QUESTION C

What are the **possible lengths for the monotone paths** on a polytope? E.g., How long can they get? How short? What lengths are possible?

Answering the questions requires understanding the **SPACE OF ALL MONOTONE PATHS**.

# OUR KEY QUESTIONS

## QUESTION A

What are the extremal values for **number of monotone paths** for every objective function  $f$  on polytopes  $P$  with fixed number of vertices and dimension?

## QUESTION B

What can be said of the **CW complex of monotone paths** or their **monotone path polytopes**? Can we bound the **diameter of polygon flip graph** for polytopes  $P$  with fixed number of vertices and dimension?

## QUESTION C

What are the **possible lengths for the monotone paths** on a polytope? E.g., How long can they get? How short? What lengths are possible?

Answering the questions requires understanding the **SPACE OF ALL MONOTONE PATHS**.

# OUR KEY QUESTIONS

## QUESTION A

What are the extremal values for **number of monotone paths** for every objective function  $f$  on polytopes  $P$  with fixed number of vertices and dimension?

## QUESTION B

What can be said of the **CW complex of monotone paths** or their **monotone path polytopes**? Can we bound the **diameter of polygon flip graph** for polytopes  $P$  with fixed number of vertices and dimension?

## QUESTION C

What are the **possible lengths for the monotone paths** on a polytope? E.g., How long can they get? How short? What lengths are possible?

Answering the questions requires understanding the **SPACE OF ALL MONOTONE PATHS**.

# HOW MANY MONOTONE PATHS OF a POLYTOPE?

and

FLIP DIAMETER?

and MONOTONE PATH  
POLYTOPES?

HOW MANY  
MONOTONE PATHS  
OF a POLYTOPE?

and

FLIP DIAMETER?

and MONOTONE PATH  
POLYTOPES?

# ANSWER A: EXTREME VALUES FOR NUMBER OF MONOTONE PATHS

## THEOREM

*Let  $\mu(P,f)$  be the number of monotone paths on polytope  $P$  with objective function  $f$ .*

- *For all 3-dimensional polytopes  $P$  with  $n$  vertices,*

$$\left\lceil \frac{n}{2} \right\rceil + 2 \leq \mu(P,f) \leq T_{n-1},$$

*where  $T_n$  is the Tribonacci numbers defined by the recurrence*

*$T_0 = T_1 = 1$ ,  $T_2 = 2$  and  $T_n = T_{n-1} + T_{n-2} + T_{n-3}$  for  $n \geq 3$ .*

- *For all  $d$ -dimensional ( $d \geq 4$ ) polytopes  $P$  on  $n$  vertices,*

$$\left\lceil \frac{dn}{2} \right\rceil + 2 - n \leq \mu(P,f) \leq 2^{n-2}.$$

# ANSWER A: EXTREME VALUES FOR NUMBER OF MONOTONE PATHS

## THEOREM

Let  $\mu(P,f)$  be the number of monotone paths on polytope  $P$  with objective function  $f$ .

- For all 3-dimensional polytopes  $P$  with  $n$  vertices,

$$\left\lceil \frac{n}{2} \right\rceil + 2 \leq \mu(P,f) \leq T_{n-1},$$

where  $T_n$  is the Tribonacci numbers defined by the recurrence

$T_0 = T_1 = 1$ ,  $T_2 = 2$  and  $T_n = T_{n-1} + T_{n-2} + T_{n-3}$  for  $n \geq 3$ .

- For all  $d$ -dimensional ( $d \geq 4$ ) polytopes  $P$  on  $n$  vertices,

$$\left\lceil \frac{dn}{2} \right\rceil + 2 - n \leq \mu(P,f) \leq 2^{n-2}.$$

# ANSWER A: EXTREME VALUES FOR NUMBER OF MONOTONE PATHS

## THEOREM

Let  $\mu(P,f)$  be the number of monotone paths on polytope  $P$  with objective function  $f$ .

- For all 3-dimensional polytopes  $P$  with  $n$  vertices,

$$\left\lceil \frac{n}{2} \right\rceil + 2 \leq \mu(P,f) \leq T_{n-1},$$

where  $T_n$  is the Tribonacci numbers defined by the recurrence

$T_0 = T_1 = 1$ ,  $T_2 = 2$  and  $T_n = T_{n-1} + T_{n-2} + T_{n-3}$  for  $n \geq 3$ .

- For all  $d$ -dimensional ( $d \geq 4$ ) polytopes  $P$  on  $n$  vertices,

$$\left\lceil \frac{dn}{2} \right\rceil + 2 - n \leq \mu(P,f) \leq 2^{n-2}.$$

## SOME THOUGHTS

Let  $d_k$  be the outdegree of  $v_k$ , Let  $\eta_k(P,f)$  be the number of these partial  $c$ -monotone paths up to the  $k$ -th fiber.  $\mu_k(P,f)$  be the number of paths from  $v_0$  to  $v_k$

$\eta_k(P,f) - \eta_{k-1}(P,f) = (d_k - 1)\mu_k(P,f)$  for every  $k \in [n - 1]$ . Then

$$\mu(P,f) = 1 + \sum_{k=0}^{n-1} (d_k - 1)\mu_k(P,f).$$

From this the lower bound can be derived, in all dimensions holds.

In dimension 3, lower bound is met by prisms, the upper bound is realized by stacked polytope.

For  $d \geq 4$ , the upper bound can be realized by 2-neighborly polytope since the graph is complete.

## SOME THOUGHTS

Let  $d_k$  be the outdegree of  $v_k$ , Let  $\eta_k(P,f)$  be the number of these partial  $c$ -monotone paths up to the  $k$ -th fiber.  $\mu_k(P,f)$  be the number of paths from  $v_0$  to  $v_k$

$\eta_k(P,f) - \eta_{k-1}(P,f) = (d_k - 1)\mu_k(P,f)$  for every  $k \in [n - 1]$ . Then

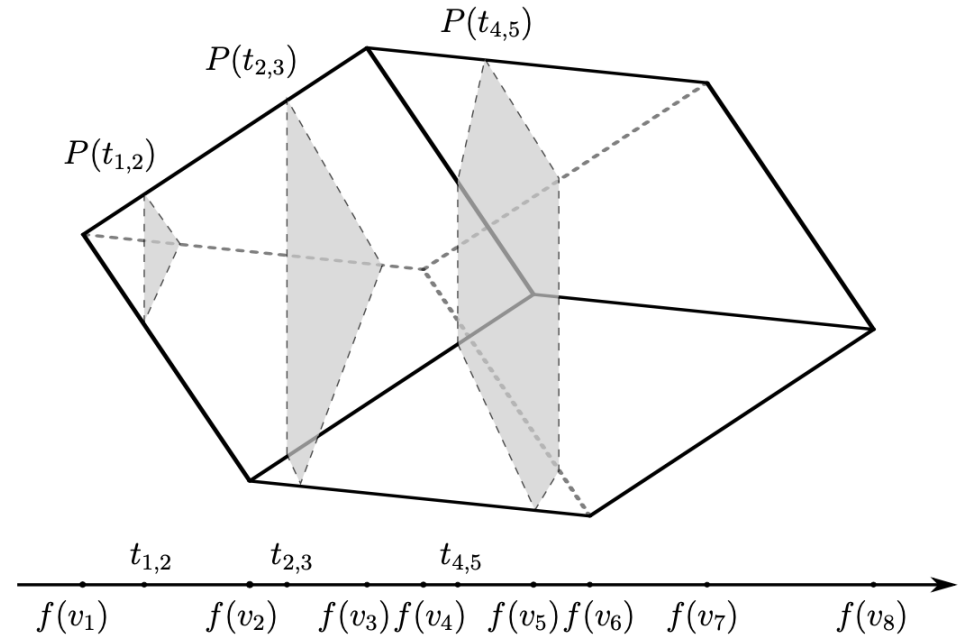
$$\mu(P,f) = 1 + \sum_{k=0}^{n-1} (d_k - 1)\mu_k(P,f).$$

From this the lower bound can be derived, in all dimensions holds.

In dimension 3, lower bound is met by prisms, the upper bound is realized by stacked polytope.

For  $d \geq 4$ , the upper bound can be realized by 2-neighborly polytope since the graph is complete.

# PROOF IDEA OF FIBERS



$$G_{0,1} \xrightarrow{\alpha_1} G_1 \xleftarrow{\beta_1} G_{1,2} \xrightarrow{\alpha_2} G_2 \xleftarrow{\beta_2} \dots \xrightarrow{\alpha_{n-1}} G_{n-1} \xleftarrow{\beta_{n-1}} G_{n-1,n}$$

# UPPER BOUNDS FOR THE DIAMETER OF FLIP GRAPHS

## QUESTION

Can we bound the diameter of flip graphs for polytopes  $P$  with fixed number of vertices and dimension?

## THEOREM

*Let  $G(P,f)$  be the flip graph of polytope  $P$  on objective function  $f$ . For any 3-dimensional polytope  $P$  on  $n$  vertices.*

$$\lceil \frac{(n-2)^2}{4} \rceil \leq \text{diam } G(P,f) \leq (n-2) \lfloor \frac{n-1}{2} \rfloor.$$

# UPPER BOUNDS FOR THE DIAMETER OF FLIP GRAPHS

## QUESTION

Can we bound the diameter of flip graphs for polytopes  $P$  with fixed number of vertices and dimension?

## THEOREM

*Let  $G(P,f)$  be the flip graph of polytope  $P$  on objective function  $f$ . For any 3-dimensional polytope  $P$  on  $n$  vertices.*

$$\lceil \frac{(n-2)^2}{4} \rceil \leq \text{diam } G(P,f) \leq (n-2) \lfloor \frac{n-1}{2} \rfloor.$$

# UPPER BOUNDS FOR THE DIAMETER OF FLIP GRAPHS

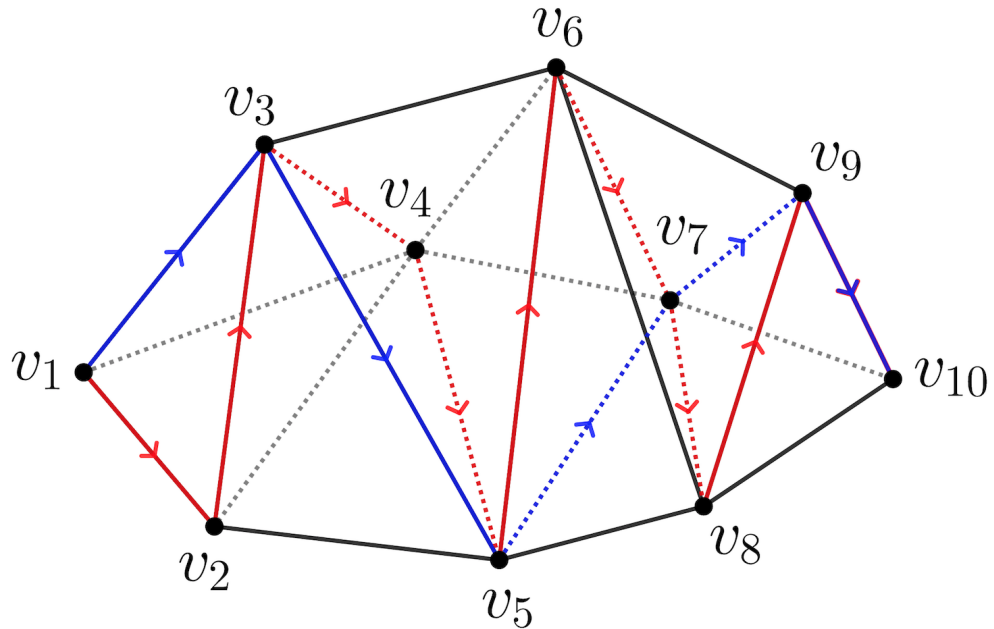
## QUESTION

Can we bound the diameter of flip graphs for polytopes  $P$  with fixed number of vertices and dimension?

## THEOREM

*Let  $G(P,f)$  be the flip graph of polytope  $P$  on objective function  $f$ . For any 3-dimensional polytope  $P$  on  $n$  vertices.*

$$\lceil \frac{(n-2)^2}{4} \rceil \leq \text{diam } G(P,f) \leq (n-2) \lfloor \frac{n-1}{2} \rfloor.$$



Two paths of distance 16. The flips are  $\{1, 2, 3\}$ ,  $\{7, 9, 10\}$ ,  $\{7, 8, 10\}$ ,  $\{8, 9, 10\}$ ,  $\{2, 3, 5\}$ ,  $\{2, 4, 5\}$ ,  $\{1, 2, 4\}$ ,  $\{1, 3, 4\}$ ,  $\{1, 2, 3\}$ ,  $\{5, 7, 8\}$ ,  $\{5, 6, 8\}$ ,  $\{6, 8, 9\}$ ,  $\{6, 7, 9\}$ ,  $\{7, 9, 10\}$ ,  $\{7, 8, 10\}$  and  $\{8, 9, 10\}$ .

LENGTHS OF  
MONOTONE PATHS  
OF a POLYTOPE

## LET $c$ BE AN OBJECTIVE FUNCTION:

- ① A  $c$ -monotone path is a directed path in the LP-oriented graph, that starts from some vertex to the optimal vertex.

**Theorem** (JDL- S. Kafer- L. Sanità 2020) Finding the shortest  $c$ -monotone path to an optimal solution is NP-hard. Furthermore, unless P=NP, it is hard to approximate within a factor strictly better than 2.

- ② The  $c$ -monotone diameter is the maximum length of a shortest  $c$ -monotone path, the maximum being taken over all starting vertices.
- ③ The monotone diameter of a polytope is the maximum  $c$ -monotone diameter, the maximum being taken over all objective functions  $c$ .

**Theorem:** Simplex method with several pivot rules efficient in polytopes with 0/1 vertices

- ④ The  $c$ -height is the length of the longest  $c$ -monotone path.

- ⑤ The height is the maximum  $c^1$  height over all objective functions.

# BOUNDING STEEPEST EDGE PIVOT DIAMETER

Let  $\mu$  and  $\nu$  be the minimum and maximum  $l_2$  norms of edges.

## THEOREM

The number of different BFS generated with Steepest edge pivot rule is bounded by

$$n \left[ \frac{m\gamma^2\nu}{\delta^2\mu} \log \left( m \frac{\gamma}{\delta} \right) \right].$$

Let  $\lambda$  and  $\Delta$  be the minimum and maximum (absolute value)  $m \times m$ -subdeterminants of  $A$ .

## COROLLARY

The number of different BFS generated with Steepest edge pivot rule is bounded by

$$n \left[ m\sqrt{2m} \frac{\gamma^3\Delta}{\delta^3\lambda} \log \left( m \frac{\gamma}{\delta} \right) \right].$$

# OPEN PROBLEMS!!

## QUESTION

What are the bounds on the lengths of monotone paths, i.e., diameter/height, for  $d$ -dimensional polytopes with  $n$  facets.

## QUESTION

What is the maximum number of monotone paths on 3-dimensional simple polytopes on  $2n$  vertices? Is it  $F_{n+2} + 1$ , where  $F_n$  is the Fibonacci numbers, achieved by wedges of  $(n+1)$ -gon? Now what are the bounds for simple  $d$ -polytopes?

## QUESTION

What is the exact value of the maximum diameter of flip graph? In particular, is it equal to the lower bound given for every  $n$ ? Is it different for simple  $d$ -dimensional polytopes?

**¡MUCHAS Gracias!**